

Vysoké škola strojní a textilná v Liberci
nositeľka Rádu práce

Fakulta strojnej

Odbor 23-21-8

Stroje a zariadenia pre chemický, potravinársky a životínky priemysel

Zameranie: textilné a odevné stroje

ELEKTROMAGNETICKÝ PŘEVODNÍK PŘE VYKÁDÁNÍ
LISTOVÉHO STROJA

Ján Zubko

Vedúci práce: Ing. Jiří Mrázek, CSc

Pozsah práce a prílohy:

Počet strán 60

Počet príloh

a tabuľiek 7

Počet obrázkov 17

Počet výkresov 20

Autorské právo sa řídí smernicemi
MŠK pro státní výskumy č.j. 31
727/624/M.1 a 33. Července
1962-Vestník f... A/30, číslo 24 ze
dne 31.8.1962 § 19 aut.z č 115/535a.

VYSOKÁ ŠKOLA STROJNÍ A TEXTILNÁ
Ústredná knihovna
LIBEREC 1, STUDIJNÁKA 8
PSČ 401 17

OBSAH

	strana
1. ÚVOD	7
2. SÚČASNÉ PRINCÍPY LISTOVÝCH STROJOV	9
2.1. Rozdelenie listových strojov	9
2.2. Mechanizmy listového stroja	10
2.3. Pohon listového stroja	10
2.4. Listový stroj jednozdvížný	11
2.5. Listové stroje dvojzdvížné	11
2.6. Listové stroje firmy STÄUBLI	13
2.7. Listový stroj firmy EROCK /NSP/	15
2.8. Listové stroje firmy KAISER /NSP/	16
2.9. Listový stroj FSB-ELITEX /ČSSP/	16
2.10. Listový stroj podľa patentu 157662 /ŠVAJČ./	18
2.11. Listové stroje firmy SEPRA /ŠPANIJEŠKO/	19
2.12. Hydraulický stroj	20
3. MOŽNOSTI ELEKTRICKEHO OVLÁDANIA IMPULZNÉHO ZAPÍADENIA LISTOVÝCH STROJOV	22
3.1. Riadenie listových strojov	22
3.2. Elektrické ovládanie impulzného zapíadenia listových strojov	24
3.3. Uloženie informácie o vzore v pamätiach	26
4. NA ZÁKLADE POZHOPU ČASOVÉHO DIAGRAMU PRVKEJTE ČASOVÉ PEZEPVY PRE OVLÁDACIE SÍMAGNETY	33

4.1.	Rozbor časového diagramu listového stroja RL 600 a zistenie časových rezerv	31
5.	VYPFACUJTE KONŠTRUKČNÝ NÁVRH NA OVLÁDANIE PLA- TÍN S MECHANICKÝM ZOSILENÍM PPE LISTOVÝ STROJ RL 600	34
5.1.	Listový stroj RL 600	34
5.2.	Princíp listového stroja RL 600	34
5.3.	Činnosť listového stroja RL 600	36
5.4.	Elektromechanický prevodník	37
5.5.	Alternatívne riešenia	38
5.5.1.	Prevodník s klukovým pohonom	38
5.5.2.	Prevodník s jednou vačkou	39
5.5.3.	Prevodník s dvojme vačkami	40
5.6.	Navrhovaný elektromechanický prevodník	42
5.6.1.	Princíp navrhovaného prevodníka	42
5.6.2.	Výpočet hriadeľa	44
5.6.2.1.	Výpočet hmotnosti	45
5.6.2.2.	Výpočet pružiny	46
5.6.2.3.	Výpočet síl a kontrola bezpečnosti	55
5.6.3.	Činnosť navrhovaného prevodníka	56
5.6.4.	Pohon navrhovaného elektromagnetického pre- vodníka	57
6.	ZÁVER	59

Miestopísané prehlasujem, že som diplomovú prácu vypracoval samostatne s použitím uvedenej literatíry.

V Liberci dňa 8.1.1982

Ján Kuboš

Použité symboly

ω - úhlová rýchlosť

$\dot{\omega}$ - úhlové zrýchlenie

t - čas

Z_m - maximálny zdvih

m - hmotnosť

L_0 - voľná dĺžka pružiny

C - konštantá tuhosti pružiny

G - modul pružnosti v šmyku

D_s - stredný priemer pružiny

F_c - celkové sila pôsobiaca na hriadeľ

n - počet otáčok

r_z - polomer základnej kružnice

r_k - polomer kladíčky

l - dĺžka ramena věhadla

F - osové sila v tyčkách

M_k - moment pôsobiaci na hriadeľ

W_k - prierezový model krutu hriadeľa

v_l - predpätie pružiny

y_0 - maximálne stločenie pružiny

ρ - hustota

1. ÚVOD

Textilné strojárstvo predstavuje dnes odber, ktorý sa významne podielá na raste celoštátnej ekonomiky a jej ďalšom rozvojom, hlavne po XVI. zjazde KSČ, je predmetom trvalej pozornosti centrálnych, stranických a štátnych orgánov, je veľmi cené aj na medzinárodnom fóre a vzriká názor, že na každú významnú celosvetovú výstavu textilných strojov musí ČSSR príjsť s nejakou novinkou.

Tak ako v celom doterajšom vývoji, tak aj v ďalších rokoch sú pre textilný priemysel charakteristické nadpriemerne tempé rastu.

Zvýšovanie výkonu pri dodržiavaní príncipu ekonomiky výroby je dnes hlavnou požiadavkou hľadenou na moderné textilné stroje. Zvýšovanie výkonu je možné dosiahnuť rôznymi úpravami klasických strojov, alebo využívaním nových prvkov.

V poslednom čase je to najmä zavádzanie elektronických prvkov. V svojej práci som sa mal zameriť na riadenie listového stroja. Doterajší spôsob riadenia kartou som mal vymeniť elektromagnetickým prevodníkom. Tento spôsob riadenia je ďaleko progresívnejší, dôsaď sa riadiť počítačom, čo je ďalej pravok prenikajúci nielen do strojárstva, ale do všetkých sfér ekonomiky.

V prvej časti práce skúšam možnosti elektrického vyládania impulzného zariadenia listového stroja pracujúceho na princípe Hattersley. Možnosť použitia mikroprocesorov, programovanie atď.

V druhej časti je prevedený rozbor časového diagramu listového stroja a sú zistené časy s ktorými musíme počítať pri

zavádzaní elektromagnetov do riadenia listových strojov.

V tretej časti práce je vypracovaný konštrukčný návrh na ovladanie platin s mechanickým zosílením pre listový stroj RL 600. Sú tam prevedené výpočty a rozkreslené výkresy konštrukčného návrhu.

K napísaniu práce som pristúpil až po dôkladnom preštudovaní všetkých dostupných materiálov výkajúcich sa zadania diplomovej práce.

V úvode by som ešte rád poďakoval ing. Mrdákovi, CSc., za pomoc a vecné prípomienky pri vypracovaní diplomovej práce.

2. SÚČASNÉ PRINCIPY LISTOVÝCH STPOJOV

Proces vytvorenia tkaniny spočíva na vzájomnom previazaní osnovných a útkových nití. V nauke o väzbach tkanín sa rozoznávajú tri základné väzby tkanín /platnová, keprivá, atlatsová/, ktoré sú východzími väzbami pre zostavenie väzieb odvozených zložitých a pod. Pri tkaní sa musí vytvoriť takto rôznych prešlupev, kolko rôzne viazacie útkov má striedať väzby. Preto má stav tzv. prešlupné zariadenie, ktoré sa skladá z brda /listového alebo žakárového/ a ústroje rím pohybujúceho.

Prešlupné zariadenie sa delí na:

1. Prešlupné ústrojenstvo listové
 - a/ zariadenie večkové
 - b/ listové stroje
2. Prešlupné ustrojenstvo žakárové - pre tkaniny vysokovlnné.

Večkové prešlupné zariadenia sú výhodné pre jednoduché, vo výrobe sa často opakujúce väzby do 10 listov včetne väzby krajom. Pre väzby zložené z väčšieho počtu listov a kde by večkové prešlupné ustrojenstvo zaberala až príliš mnoho miesta, je potrebné použiť zariadenie s voliteľným programom zdviarov, teda listových strojov.

2.1. Pozdelerie listových strojov

Listové stroje sa vyrábajú pre 12, 16, 20 a 24 slabo 25, výnimčne až pre 44 listov a rozdelujú sa:

1. Podľa činnosti na:
 - listové stroje jednozdvižné

- listové stroje dvojzdvižné
2. Podľa postavenia listového stroja na stave na
- listové stroje bočné
 - listové stroje korunové
 - listové stroje umiestrené pod listom

Listové stroje pracujú na plný prešlup /na zdvih a sťah listov/.

2.2. Mechanizmy listového stroja

Celé ústrojenstvo listového stroja sa delí na tri základné mechanizmy:

1. Náhonový mechanizmus, ktorý má staliž pohon od tkacieho stavu a ktorého výslednica je pravidelný po- hyb jedného alebo dvoch nožov.
2. Mechanizmus na zdvihanie tkacích listov, ktorého hlavná časť sú platiny, ktoré sa zavesujú na nože mechanizmu náhenu.
3. Riadiaci mechanizmus, ktorý na základe údajov programovej karty riadí zdvih tkacích listov tým, že ovládá platiny.

2.3. Pohon listového stroja

Priebeh zdvihov tkacích listov závisí na druhu pohoru nožov listového stroja.

1. Pohoru klukou a ojnicou na nožovú dráhu sa používa u jednoduchých korunových listoviek umiestnených nad stavom. Pretože pri tomto usporiadani má pomer polo-

meru kľuky k dĺžke ojnice malú hodnotu, je priebeh zdvihu listu harmonický.

2. K zlepšeniu vlastnosti kľukového pohonu sa predraďzuje pohon excentrickými ozubenými kolesami. Táto kombinácia dáva výhodný priebeh zdvihu tkacích listov bližiaci sa vačkovému pohonu. Vzhľadom k hmotnosti ďlhej ojnice tieto druhy pohonu môžu byť použité iba pre nízke otfčky.
3. Najvhodnejší je pohon vačkami. Klúd listov je najčastejší v rozmedzí $\varphi = 110^\circ$ až 150° pootečenia kľukového hriadeľa.

Výška zdvihu listov je u tohto pohonu najmenšia. Tvary a druhy vačiek sú rovnaké:

1. Povrchové vačky vyžadujúce protitahy. Tieto listové stroje nazývame negatívne.
2. Vačky drážkové, súčtové, ktoré zaistujú nutený zdvih i stiah listov. Tieto stroje nazývame pozitívne.

2.4. Listový stroj jednozdvižný

Mechanizmy jednozdvižnej listovky dokončia pohyb pri každej otáčke stavu. Po každom prešlupe sa celé ústrojenstvo priviedie do pôvodnej polohy. Rýchlosť listovky je rovnaká ako rýchlosť stavu. Preto sú jednozdvižné listové stroje v súčasnej dobe nevýrabajú a používajú sa iba pri tkaní ľahších látok /napr.: kobercov/.

2.5. Listové stroje dvojzdvižné

Dvojzdvižný listový stroj má dva nože, ktoré pracujú striedavo. Jeden pri párných, druhý pri nepárných útkoch. V porovnaní s chodom stavu má polovičnú rýchlosť a preto sa hodí pre rýchlobežné stavy.

Dvojzdvižné listové stroje možno rozdeliť na pozitívne /s nuteným zdvihom a stahom listov/:

- a/ so systémom Hatterslay
- b/ so systémom Hougson
- c/ s rotačným systémom

Negatívne listové stroje /pohyb listov je zistený iba v jednom smere, späť musí byť stahovaný spružinami alebo protitahmi/:

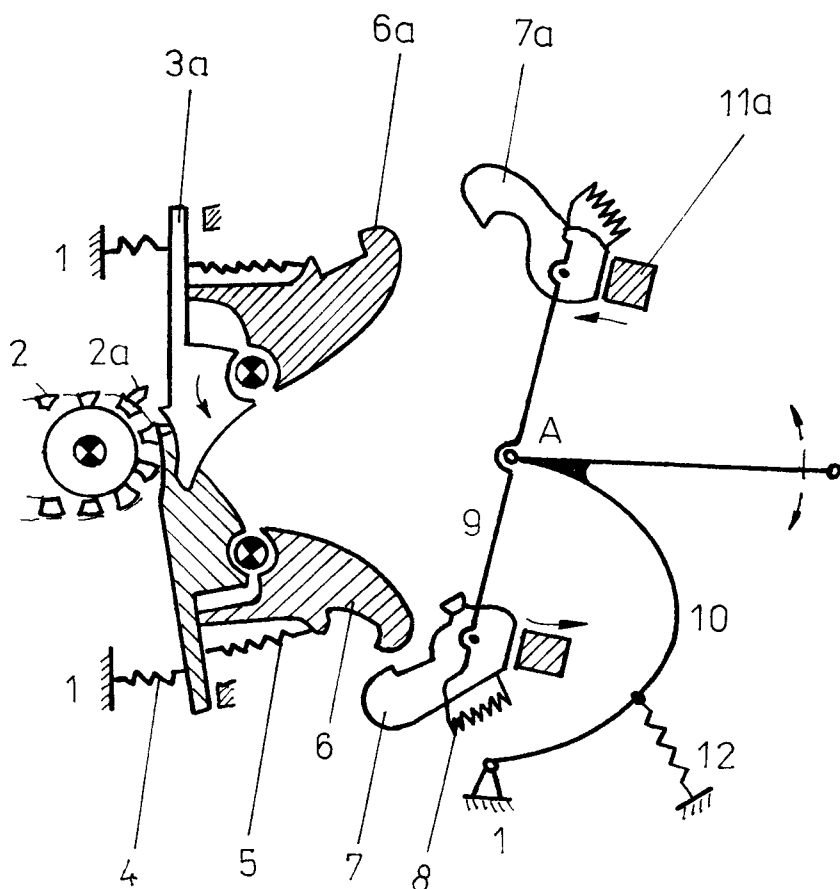
- a/ so systémom Hatterslay
- b/ so systémom Hougson

Listové stroje, ktoré sa vyrábajú v súčasnej dobe sú dvojzdvižné a svojou technickou úrovňou a pracovnými parametrami musia odpovedať určitým požiadavkam:

1. Požiadavka na zvýšenie prevádzkových otáčok /400 až 500 ot/min./. Nové tkacie stroje hľavne s tryskovým princípom tkania, ktoré oproti ostatrým princípm vykonávajú zhruba dvojnásobný počet prehodov za minútu. Listové stroje musia byť preto schopné pracovať pri dvojnásobnom počte prehodov.
2. Požiadavka na zlepšenie väčšej paprskovej šírky.
3. Požiadavka na dlhú životnosť prešlupných strojov, na ich spôsobilosť aj v prevádzke na tri smery.

V ďalších kapitolách uvedieme najviac rozšírené a používané typy listových strojov, ktoré sa vyrábajú v Československu aj v zahraničí.

Nositeľom svetovej úrovne v oblasti listových strojov
je firma STÄUBLI /Švajčiarsko/.



Obr. č.2.1.

2.6. Listové stroje firmy STÄUBLI

Typ 550

Funkcia stroja je zrejmé z obr. č.2.1.

Pre páku 3a v karte 2 je kolík 2a. V dôsledku toho sa páka 3a pootočila raznačeným smerom. Tým sa tiež pootočila zadŕžovacie páčka 6a. V ďalšom otáčaní listovky sa pôsobením protismerné sa

pohybujúcich lišt l1, lla horné platina 7a premiestní a zavesí sa na zadržovaciu páčku 6a. Ďalej sa lišty l1, lla pohybujú v opačnom smere. Platina 7a zostane zavesená a v dôsledku pohybu dolnej lišty l1 vľavo sa tiež centrálny bod A balančnej páky presunie vľavo. Tkací list, zavesený na páke 10 je tým zdvihaný. Zvláštnosťou tejto listovky sú pohyblivé lišty l1, lla, ktoré stlačajú platiry. Vrátenie balančnej páky s platinami zaviesťuje pružina 12.

Typ 550 - listový stroj vybavený pružinovým protitahom a novoriešeným princípom pohonu, je jednoduchej konštrukcie. Stroj je vhodný na použitie u vysokootačkových strojoch, najmä tryskových vodných aj vzduchových a určený pre malé zdvihy tkacích listov.

Typ 100 - listový stroj s pružinovým protitahom, vhodný pre člirkové aj bezčlirkové tkacie stroje. Má jednoduchú konštrukciu, je ekonomický v prevádzke a jednoduchý v obsluhe.

Typ 200 - listový stroj s nuteným ovládaním listov, so širokými možnosťami prispôsobenia na rôzne tkacie stroje. Stroj je jednoduchej konštrukcie, vhodný pre vysoké rýchlosťi.

Typ 330 - listový stroj s nuteným ovládaním listov pre použitie na tkacích strojoch veľkých paprskových šírok s vysokým počtom otáčok. Má ústredné mazanie.

Typ 430 - listový stroj negatívny s novým princípom pohonu ovládajúcich nožov. Je vhodný pre vysoké pracovné rýchlosťi tkacieho stroja. Mazanie listového stroja je obdobové s volejvej kúpelí. Používa sa pre člirkové aj bezčlirkové stroje.

Typ 730 - listový stroj s nuteným ovládaním listov, kompaknej konštrukcie s vertikálnym pohybom ťažných nožov. Vašky aj ťažné pohybové nože sú uložené na oboch stranach s rieše-

né pre nesúmerný pohyb. Je možné použiť aj súmerný pohyb nožov. Listový stroj je mazaný obehovo. Tento listový stroj je obzvlášť vhodný pre ihlové tkacie stroje Draper typ DSL, pretože vyhovuje podmienkam týchto strojov svojím riešením nesúmerného prešlupu.

Typ 850 - skriňovej konštrukcie s pružinovým protitažom listov. Výkon pracovných otáčok stroja je 2000 ot/min. Dodáva sa ako špeciálne príslušenstvo pre jednopásnové alebo dvojpásnové stuhárske stroje.

Typ 1430 - pozitívny listový stroj, je riešený na novom rotačnom princípe na otvorený prešlup. Jeho konštrukcia je kompaktné, celkom uzavrené v olejovej skrini. Koncepčné usporiadanie a pracovný princíp tohto stroja otvárajú možnosti tkania s veľkým počtom listov pri veľkých rychlosťach a veľkých paprskových šírkach. Hlavná výhoda spočíva v tom, že pracuje ako bezvôľový listový stroj, pri pohybe listov nedochádza k nározhou.

Typ 1838 - je novým typom protitažného zariadenia pracujúceho na stah so všetkými výhodami dobrých pružinových protitažov, včítane ich jednoduchosti. Tažná sila je ľahko zoradiťelná, pretože zariadenie je dobre prístupné. Je určené ako doplnok pre listové stroje vyžadujúce protitažné zariadenie.

2.7. Listový stroj firmy BROCK /NSR/

Typ 3400 - je listový stroj riadený novoviedeným zariadením s derrou kartou. Je poháňaný dréžkovými vačkami. Možné sú poháňané špecialnými vačkami zaručujúcimi ich ideálny pohyb. Veľké priemery vačiek zaručujú vysokú spoloahlivosť a malé opotrebovanie aj pri veľkom zatiažení a vysokých otáčkach. Listový stroj zaistuje celkom synchronné tvorenie horného aj dolného

prešlupu. Je vyvinuté špeciálne zariadenie na viazanie krajov tkaniny. Listové stroje firmy BROCK nedosahujú tak vysokých pracovných otáčiek ako stroje STÄUBLI. Vysokú úroveň však majú špeciálne listové stroje pre tkanie dvojitych plyšov.

2.8. Listové stroje firmy KAISER /NSP/

Typy CS, CP sú bočné listové stroje s nuterým ovládaním listov. Sú určené pre bezkárunové tkacie stroje.

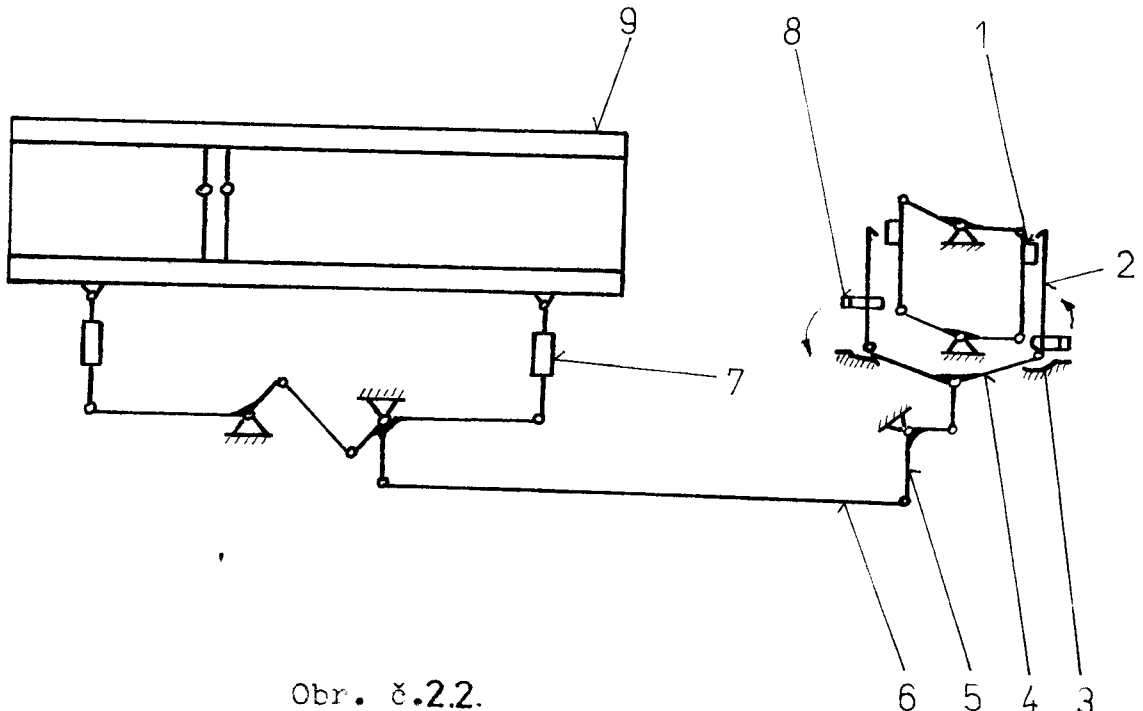
Typy CSH, CPH sú polovýrobnými bočnými listovými strojmi pre nútené ovládanie listov zdola.

Typy CST, CPT sú uložené po stranach na korune stroja a ovládajú listy zhora.

Listové stroje KAISER sú iniverzálne a umožňujú použitie až do šírky tkaniva 5,5 metrov. Stroje nedosahujú tak vysokých prevédzkových otáčiek ako stroje STÄUBLI. Listové stroje typu CS sú stuharské a umožňujú až 2000 ot/min. Pohybové väčky nožov sú v normálnom prevedení s kľudovou vydržou 120°, s možnosťou zmeny od 90° do 180°. Stroje typu CP majú synchronné čítanie, ktoré uľahčuje manipuláciu pri hľadaní útku. Listové stroje KAISER s kľadičkovými kartami sú stavané pre 8, 10, 16, 20 a 25 listov.

2.9. Listový stroj PBH-ELITEX /ČSSR/

Je to dvojzdvižné listovka na horný prešlup. Kinematickú schému celej listovky si môžme predstaviť tak, ako je znázorené na obr. č.22. Zvláštnosťou tohto listového stroja je zvislá poloha platín, aby bol vylučený vplyv gravitácie.



Obr. č.2.2.

1 - nôž pre nútený zdvih listov

2 - platina

3 - žľab

4 - platinové výhadlo

5 - úhlová páka

6 - tiahlo

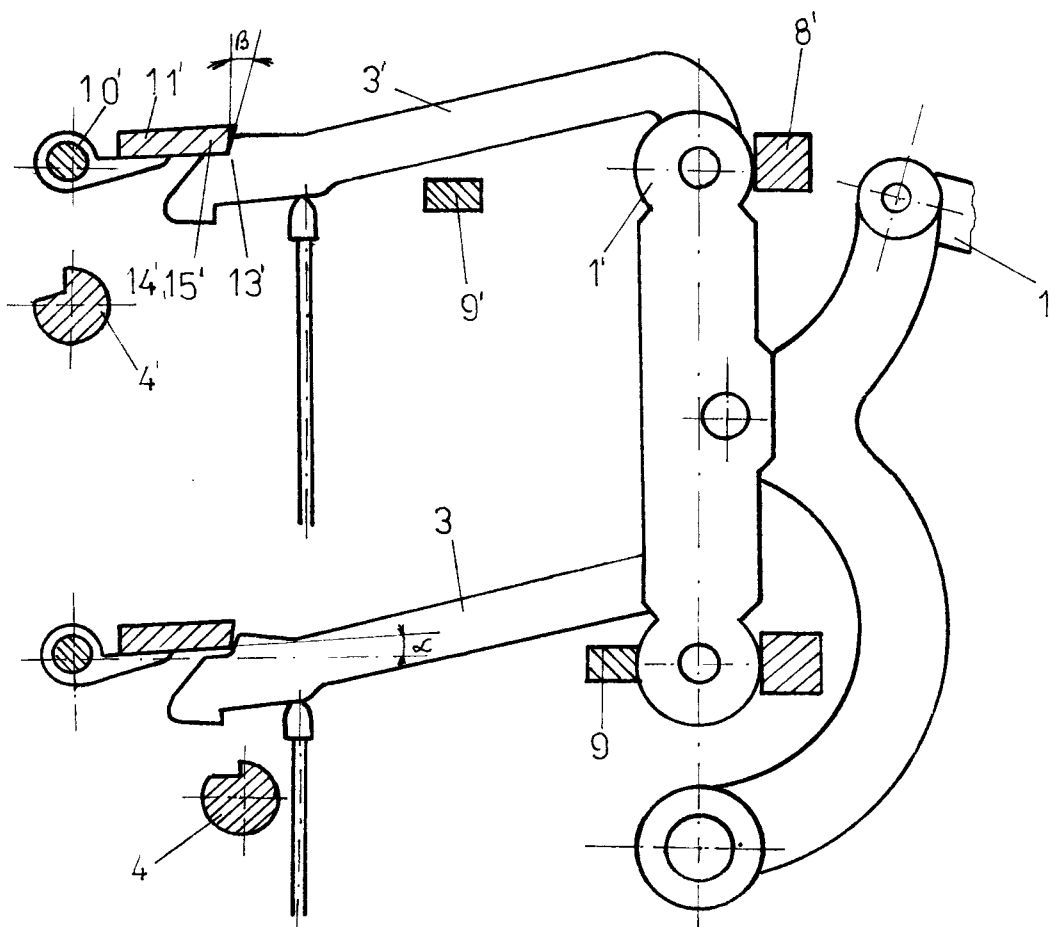
7 - regulačné tiahlo

8 - hrebeň pre nútený stiah listov

9 - listový rám

Listové stroje PBH sú používané v jednotlivých typoch stavov člnkových K58, UTAS, TES 4200 a TES 4202 /NDR/ a JANTRA /Bulharsko/, ďalej škripcových NOVOSTAV /ČSR/ a EXTRIMA 4405 /NDR/. Líšia sa iba zhotovením ramu a pohonu listovky. Listový stroj typu PBH sa vyrába dodnes v prevedení so synchronným

čítaním karty a s vylepšeným mazaním a zakrytovaním pre použitie aj na škripcových stavoch typu STB /ZSSR/.



Obr. č.23.

2.10. Listový stroj podľa patentu 157 662 /Svajčiersko/

Funkčné schéma listovky systému Hatterslay je znázornnené na obr. č.23.

Pohyb koncov váhadla v oboch smeroch je nútanjí. Prítem sa v zadnej mŕtvej polohe konca váhadla blokujú medzi stabilným dorazom a medzi kyvajúcimi odrazovými nožmi. Aj v prípade, kedy ďažný hak /3,3'/ nie je zasunutý pre vytiahnutie pomocou ďažného roža /4,4'/, tak vykyvujú odrazový nož /9,9'/, čo viedie

k uvoľnovaniu blokovania príslušného konca valadla, čo viedie k nekludnému chodu. Bolo navrhnuté zložiť nepracujúci ťažný hak z ťažného noža pomocou preihlovej sústavy a posúniť ho do oblasti pôsobnosti oporného noža. Ťažný hak s koncom výchadla sa teda zasunie medzi pevné body, čo je možné len keď je vzdialenosť pevných bodov väčšia ako dĺžka zasunutej časti. Pre riadnú funkciu musí teda existovať vôle, ktorá je nevýhodná, pretože dovoluje vznik kmitavých pohybov v jednej listovkovej pohonnej jednotke.

Na odstrarenie vôle je vyvinuté zariadenie, z ktorého sa v zadnej mŕtvej polohe ťažného noža udeľuje tomuto nožu prídavný pohyb na zvýšenie vôle.

2.11. Listové stroje firmy SEPPRA /Španielsko/

Typ GAS je novým typom listového stroja riešenia na princípe beznožov a dréžkových vačiek k ich pohybu. Platiny sú pohybované priamo radiálnymi vačkami. Pre každý list je použité dvoch vačiek, čo umožňuje pracovať s rôznymi časovými priebehmi jednotlivých listov. Stroje sú dodávané s rôznymi kľúčovými polohami listov 50° , 70° a 90° v hornej alebo v dolnej prešlupnej rovine, popričade môže byť výdrž oboch prešlupných rovín rôzna. Každý list sa môže pohybovať vlastným priebehom.

Tento stroj sa stéva až pre 28 listov. Stroj môže pracovať pri pri vysokých otáčkach /550 ot/min./.

Stroje sú vhodné k použitiu na všetkých typoch žlirkových aj bezžlirkových tkacích stavov. Môžu byť umiestnené po strane stavu hore alebo dole.

Listové stroje SEPPRA typ GAS koncepčne nemajú nič spoľo-

čného zo základným široko používaným systémom Hatterslay ako všetky doterajšie konštrukcie listových strojov. Ovládanie listov dvoma samostatnými sústavami väčiek umožňuje širokú voľbu nezávislých pohybových zákonov pre pohyb jednotlivých listov a ich prispôsobenie požiadavkam tkacieho systému alebo technológie tkania.

2.12. Hydraulický listový stroj

Tento stroj je nádejnej z nasledujúceho hľadiska:

1. Nebývale malý priestor zabraný samotným strojom
2. Malá hlučnosť celého stroja
3. Schopnosť dosiahať pomerne vysoký počet prešlupných zmien

Malé rozmer by umožnili umiestniť samotný listový stroj do priestoru pod listy vo vnútri stavu a elektrické čítacie zariadenie na bok stavu. Týmto riešením by sa pôdorysný obrys stavu s listovou temer nezmenil oproti stavu bez listovky, čo má veľký ekonomický význam. Celý problém je v tom, že hydraulické zariadenie nebolo doposiaľ nikde tak zatažené ako v tomto prípade. Jednotlivé zdvihy sa musia odohrať behom niekoľkých stotín sekundy. Pri riešení prototypu sa preto objavujú niektoré ľažkosti špeciálneho rázu.

Negatívne listové stroje využívajú k činnému stahu brdových listov energiu akumulovanú v rôznych pružinách. Tieto systémy pohonu pracujú nepravidelne, pretože behom zdvihu listu je potrebné vynaložiť dvojnásobné množstvo energie než pri jeho stahu. Dochádza k značným vibráciám, ktoré prakticky znemožňujú správnu činnosť listového stroja pri vyšších otáčkach.

Dalšou nevýhodou je nie celkom istá spodná poloha listu, pretože

pri úneve pružín protitahu sa stáva, že niektorý list nie je dotiahnutý do svojej krajnej polohy a potom vznikne nečistý prešlup.

Pozitívne listové stroje zaistujú stály zdvih tkacích listov a pomerne rovnomernú spotrebú energie. Nevýhodou všetkých systémov rotujúcich vačiek, alebo kyvajúcich pák je ich rozmernosť, ktorá je daná druhom pohonu a ovládaním, ďalej ich značné hlučnosť, ktorá sa so stupajúcimi otáčkami zvyšuje až na neunosnú mieru, nepresnosť zdvihu jednotlivých listov. Zneme listové stroje majú ďalej obmedzenú hranicu maximálnych otáčiek a to preto s ohľadom na ich zložité mechanizmy. Listové stroje sa skladajú z veľkého množstva súčastí, ktoré sú spojené navzájom otočne. U týchto strojov je veľmi ťažké zaistiť spoločnosť mazania, čo má za následok ich rýchle opotrebovanie a tým aj značnú poruchosť. Vôľa medzi nožom a platirom je zdrojom vôle aj na liste, preto väčšina listových strojov firmy STÄUBLI je s vymedzovačom vôle.

Klasický listový stroj založený na princípe Hatterslay si stále udržuje pozíciu najviac používaného prevedenia. Dosiahol značného stupňa prepracovania tak, aby vyhovoval súčasným požiadavkam. Má však vzhľadom k tomu, že používa priamočiareho vrátneho pohybu obmedzení v dĺžkom zvýšovania otáčiek. Súčasne viedla použitie klasického principu sú hľadané nové riešenia, ktoré by dovolili odstraňovať priamočiary pohyb nožov a užívali dynamicky výhodnejšieho principu rotácie vačiek /stroje firmy SERFA, STÄUBLI/, lebo riešenia založené na využití kvapalín.

3. MOŽNOSTÍ ELKTRICKÉHO OVLADANIA IMPULZNÉHO ZAFIARENIA LISTOVÝCH STROJOV

3.1. Riadenie listových strojov

Poradie zdviarov jednotlivých tkacích listov musí súhlasit so vzorovnicou väzby tkaniny. Program zdviarov je zaznamenaný na riadiacom pese.

Kartový pás s kolíkmi

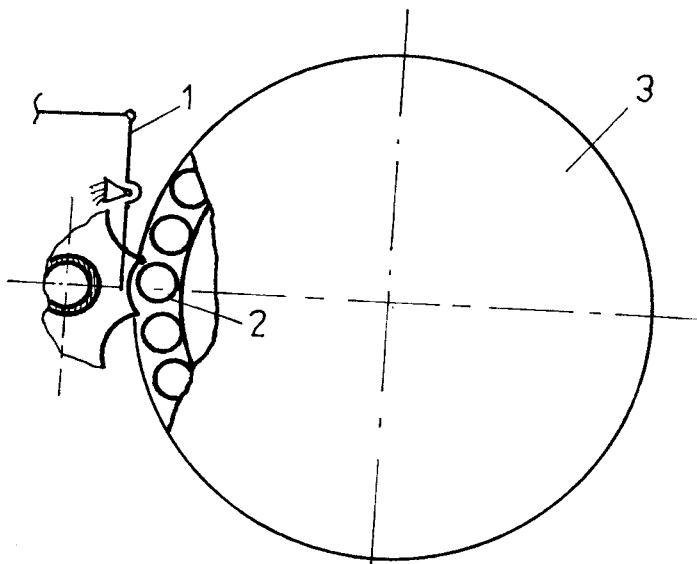
Staršie listovky sa riadili pásom s količkami z dreva. Drevené kolíky boli usadené do pásu podľa vzoru väzby. Drevený kartový pás má priemernú rozteč kariet $t = 25$ mm. Preto pri zložitých väzbach tkanín Zaherie mnoho miesta na stave a vedenie kartového pásu je zložité. Modernejšia obdoba pásu s oceľovými kolíkmi sa dnes používa ako tzv. "rýchle kartové pasy".

Papierový riadiaci pás

Tento systém sa skôr používa iba na žakárových strojoch typu VEPDOL. Pre ohmatavacie ihly sú v páse vyrazené otvory. Pás je po stranách zariadený perforáciou na vedenie siblenými kotúčmi. Na dnešnom normalizovanom páse sa na dĺžke jedného metrova zaistí riadenie listovky pre 333 útkov. K predĺženiu životnosti sa pás zosiluje kovovými foliami, alebo je karta zhodená z fólie z plastickej hmoty. Výhodou je ľahké rozmnôžovanie, skladovanie a programovanie.

Piadenie listovky valčekmi

Podľa čs. patentu sú riadiace valčeky 2 v dvojjakom prevedení. Jedné sú hladké a druhé majú na obvode drážku. Zo zásobníka 3 sa valčeky podavačom a krokovým zariadením /viď obr. č.31./ presúvajú pod ohmataciu páčku 1. Drežie na valčeku má rovnaký význam ako otvor v karte.



Obr. č.31.

Piadenie lístovky guličkami

Čs. patent 408816 / popisuje spôsob riadenia lístovky guličkami dvoch, troch, alebo niekoľkých rôznych priemerov. Zo zásobníka sa guličky vložené v poradí určenom väzcom náležia na obvod krokového kotúča, na ktorom je osem otvorov s odstupňovanými priemermi a obvodovou drážkou. V hornej polohе guličky

kontroluje ohmatávacia páčka.

Riadenie listovky magnetickým pásom

Podľa franc. patentu /1296090/ sa listovky riadí magnetickým páskom, na ktorom je zaznamenaný program väzby.

Riadenie listovky diernou pásou

Podľa patentu USA /92530 / je program väzby zaznamenaný na diernej páske, bez dotykovho snímaný fototranzistormi a ďalej spracovávaný zosilovačom. Obdobným riadením je vytvorené listovka MUETRONIC firmy Müller.

Elektronické riadenie listového stroja

Podľa švajčiarského patentu podaného bulharskými výskumnými pracovníkmi /444541 / je program väzby a farebnej zámeny zaznamenaný v rozdeľovači, ktorý je adresovaný vrátane čítačmi a koincidenčnými obvodmi. Pri každom novom útku vydá impulzný prevodník signál pre zvýšenie obsahu čítačov. Tento systém nemá možnosť spätného chodu, napr. pri parani.

3.2. Elektrické ovladanie impulzného zariadenia listových strojov

Pri rozbore rôznych možností riadenia textilných strojov je vidieť, že vzhľadom k neustále sa zvyšujúcim nárokom na riadenie a rýchlosť riadenia, je vhodným riešením elektrické

ovládanie. V súčasnosti je charakteristickým javom prenášanie elektroniky do ľahších všetkých odvetví textilného strojárstva. Veľkou prednosťou mikroelektroniky je nahradenie veľkého počtu pohybujúcich sa mechanických súčiastok elektronickými prvkami a obvodmi. Nástupom technológie výroby integrovaných obvodov veľkého stupňa integrácie /LSI/ a vynálezom mikropocesoru v roku 1971 dostala textilná elektronika nový mohutný impulz k svojmu rozvoju.

Špeciálne u textilných strojov k tomu prispelo ešte niekoľko výhod oproti doterajším listovým strojom, kde nositeľkou informácie o vzore je dierovaný kartový pás /čs. listovky PBH alebo LS 4200/ alebo kartový pás s kolíkmi /listovky STÄUBLI 555/. Z nich sa informácia sníma a prenáša mechanicky na pohyb listov. Tieto kartové systémy však majú určité nevýhody.

1. obmedzené rýchlosť snímania informácie o vzore
2. nepružné výmena vzoru
3. nedostatok pamäťovej kapacity u vzorov s extremne vysokou striedou
4. nutnosť radiť za sebou na karte viac rovnakých vzorov pri výrobe tovaru s malou striedou
5. technické komplikácie pri paraní /nutnosť zdvojenia snímacieho mechanizmu/

Ak chceme uvažovať o možnosti elektrického ovládania impulsného zariadenia listových strojov, predpokladame použitie mikropocesoru. Informácia o vzore bude uložená v reprogramovateľných pamätiach a bude priebežne vysielaná k elektromechanickým prevodníkom. Prostredníctvom elektromechanických prevodníkov budú ovládané listy. Čítanie informácie z reprogramovateľných pamätí bude prebiehať vždy pri určitom uhle natočenia

hriadeľa listového stroja /2 krát za otáčku/ / / .

Mikroprocesor INTEL 8080 A, ktorého použitie sa predpokladá, pracuje s informáciami o dĺžke 8 bitov. Podobne je pamäť organizované po 8 bitoch, teda po 1 byte. Adresa je 16-bitová, t.j. zložená z 2 bytov.

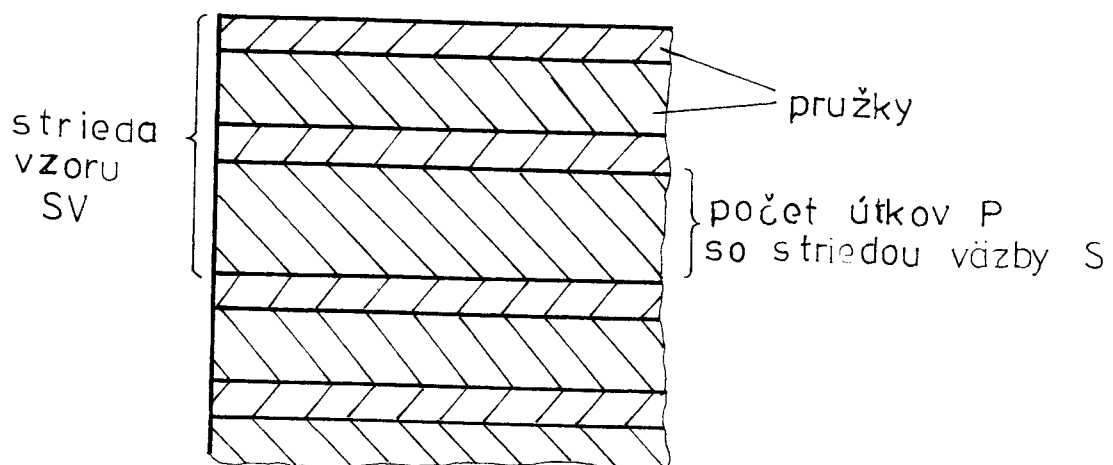
Pri elektrickom riadení listového stroja, budeme predpokladať 12 až 20 listov stavu. Na to väčšinou stačí strieda vzoru 360, ale u tovarov špeciálnych druhov /ohrusy, vreckovky/ je možný extremný prípad stried vzoru až 2000. V pamäti mikroprocesorového systému budú uložené informácie ďvojakého druhu:

1. Pracovný program riadiaci vlastné vydávanie informácií k listom vo vhodný časový okamih. Tento program bude uložený zo začiatku v reprogramovateľných pamätiach EPROM, neskôr v pevných pamätiach POM.
 2. Vlastná vzorová informácia o vzore môže byť uložená napr. v reprogramovateľných pamätiach EPROM. Zmena vzoru by sa prevádzala výmenou tejto pamäte za inú. Výhodou tejto pamäte je, že jej obsah /vzor/ zostane pri výpadku siete zachovaný. Vzor by mohol byť tiež uložený do pamäte RAM, do ktorej by sa nahral z 8 - stopovej počítačovej diernej páske alebo z bežného magnetofónu pred každým spustením stroja. Tento postup by sa však musel opakovať aj po výpadku siete.
- 3.3. Uloženie informácie o vzore v pamätiach

Možnosti mikroprocesoru dovolujú organizovať uloženie informácie o vzore v pamätiach veľmi úsporným spôsobom, čo je výhodné preto, že cena pamäti je podstatnou časťou ceny mi-

koprocesorového systému

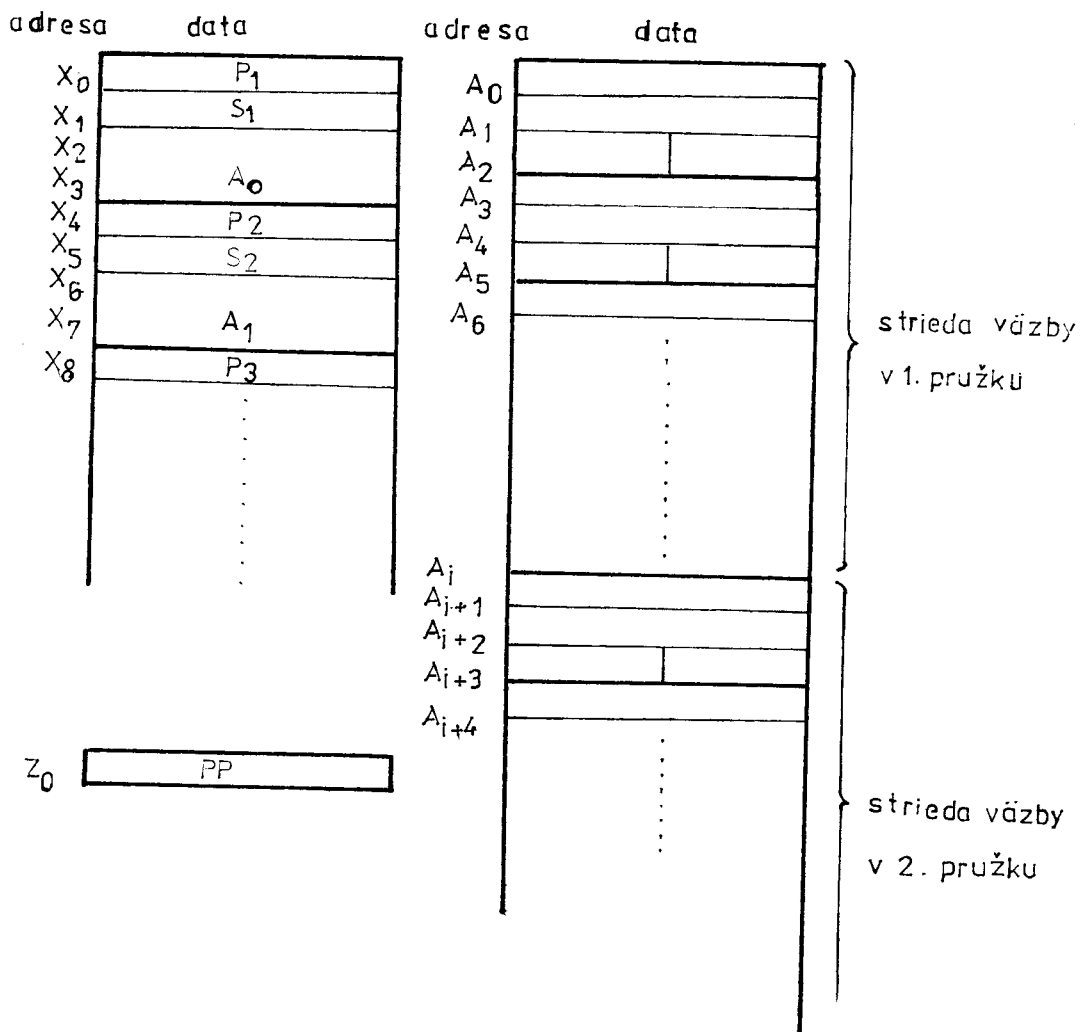
Predpokladajme, že sa tkanina skladá z pružkov /viď obr. č.3.2. /



Obr. č.3.2. Struktúra tkaniny

tvorených útkami s rovnakou väzbou. Určitý počet prúžkov tvorí striedu vzoru SV. Každý prúžok v striede vzoru SV má počet útkov P, ktorých väzba sa opakuje so striedou väzby S. Celkovú informáciu o štruktúre tkaniny rozdelíme na dve časti. Jedná časť pamäti, začínajúca adresou X_0 , obsahuje počet útkov v prúžku P, striedu väzby S a adresu A_i väzby v prúžku. Druhá časť pamäti, začínajúca napr. adresou A_0 , obsahuje väzby v prúžkoch. Okrem toho je v pamäti na adrese Z_0 zaznamenaný počet prúžkov PP v striede vzoru SV, čím je určená celkové štruktúra tkaniny.

Príklad rozloženia v pamäťových bunkách je nákreslený na obr. č.3.3. . Každému prúžku odpovedajú 4 bunky v pamäti začínajúce adresou X_0 . Prvá bunka obsahuje počet útkov v prúžku P_j .

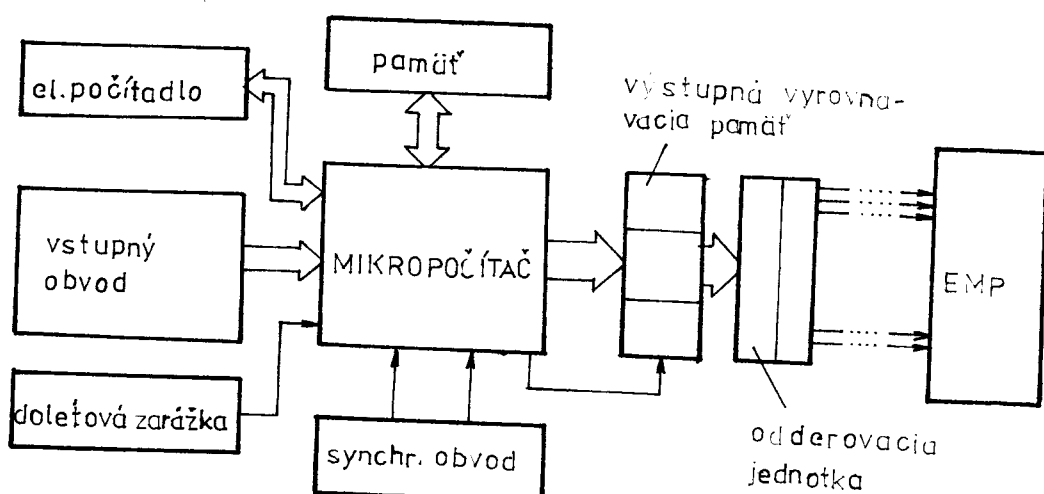


Obr. č. 33 Organizácia pamäti

Druhé bunky obsahujú striedu väzby S_j , a v tretej a štvrtnej bunke je uložená 16 bitová adresa väzby v prúžku A_i .

Väzba v prížkoch tkaniny je uložené v časti pamäti začínajúcej adresou A_0 , pričom každému útku sú vyhradené tri bunky po 8 bitoch. Každý bit ovláda jeden list. Máme teda 24 bitovú informáciu, z toho napr. 20 bitov na riadenie pohybu listov, 4 bity je rezerva, s ktorou je možné riadiť napr. farebnú zámenu /až 16 farieb/. Pritom je treba pamätať na to, že informácie o farebnej zmene musia byť o 1 útok napred.

Bloková schéma navrhovaného riešenia je nákreslené na obr. č. 34.



Obr. č.34. Blokové schéma jednotlivého riadenia

Počas každého pootočenia hriadeľa listovky o $1/2$ otáčky pri priechode určitým úhlom natočenia a pri chode vpred vydá synchronizačný obvod signál VPRED. Tento signál načrtuje podprogram, ktorého prostredníctvom presunie mikroprocesor vzorovacie bity pre jeden útok z operačnej pamäti do vyrovňávacej pamäti. Pomocou elektromechanických prevodníkov sa potom informácia prevádzza na pohyb listov.

Môže nastaviť stav nedoletu útku. Útkové záražky reagujú zastavením stávu. Obsluha musí jeden alebo viac útkov pomocou motorového hľadača útkov nájsť a vypárať, t.j. vrátiť sa aj v programe s jeden alebo viac útkov späť. Synchronizačný obvod vydá pri každom otočení hriadeľa listovky o $1/2$ otáčky signál, pri priechode určitým úhlom, signál VZAD. Tento signál načrtuje podprogram, ktorý spôsobí, že mikroprocesor vyskolo vhodnú

informáciu pre predchadzajúce útky.

Tento pochod sa opakuje podľa počtu vypraných útkov. Prítom je potrebné blokovať prechod útkov. Až po najdení všetkých potrebných útkov sa stav znova spustí /napr. tlačitkom/ a tkanie pokračuje.

4. NA ZÁKLADE POZDORU ČASOVÉHO DIAGRAMU PPE ŽETRIE ČASOVÉ
BEZPEČNÝ PPE OVLÁDACÍ ELEKTROMAGNETY

4.1. Pozor časového diagramu listového stroja FL 602 a zistenie časových rezerv

Z tohto diagramu nás zaujíma najmä riadenie hakov a zanesenie útku. Zanesenie útku prebieha v odlišnom čase u párných útkov a nepárných. Nepárne útky sú zanešané od 80° do 100° . Párne zasa od 260° do 280° . V týchto časoch je kľudová výdrž listov. Kľudové výdrž listov je 15° otočenia hlavného hriadeľa listovky a 30° otočenia hlavného hriadeľa tkacieho stroja.

U nášho navrhovaného modelu sa počíta s kľudovou výdržou listov po 40° otočenia hlavného hriadeľa listovky. Ďalej sa počíta s 300 otáčkami hriadeľa, čiže z týchto údajov môžeme spočítať časy, ktoré budú k dispozícii pre párcu elektromagnetov. Keďže u tohto modelu pracujeme s dvoma radmi tyčiek musíme počítať tiež s dvoma radmi elektromagnetov. Počas jednej otáčky hlavného hriadeľa listovky bude pracovať raz horné a raz dolné rada. Čiže na riadenie toho ktorého elektromagnetu budeme mať teoretický až 320° . Lenže z praktickej stránky je navyhodnotnejšia doba na riadenie 260° . Berieme do úvahy celý pracovný cyklus s predvolbou. Budeme predpokladať, že v čase $t_s = 0$ bol prúd $i=0$, prítažná sila $F_m=0$, dráha kotvy $s=0$ a došlo k spojeniu kontaktov spínača napájacieho otvodu. Prúd v otvode narastá od nuly až do tzv. štvorcovej doby t_s bez pohybu kotvy. Doba t_s je určená okamžikom vyrovnania sily F_m so všetkými protipôsobiacimi silami /sila vretnej pružiny, trerie, väha kotvy atď./. Po dosiahnutí väčšej hodnoty F_m sa dôjde aj kotva do

pohybu, rastie sila F_m a tým aj zrýchlenie kotvy. Pohybom kotvy sa mení indukčnosť, vzniká tzv. elektromotorická sila, ktoré plasť proti napätiu U_B zdroja. V dôsledku tohto stavu začne prúd v obvode klesať dovtedy, kým neskončí pohyb kotvy. Po tom prúd začne znova stúpať až sa ustáli na hodnote I_k . V tejto fáze je indukčnosť prakticky konštantná. Po skončení zdvihu rastie s narestaním prúdu aj prítažná sila F_m , ktorá sa ustáli súčasne s prúdom. Po prerušení obvodu prúd a prítažné sily klesajú na nulu. Doba návratu kotvy môže byť dlhšia ako doba, počas ktorej klesne prúd na nulu.

Pri výpočte časov budeme vychádzať z daných otáčiek, ktoré sú dané za min. Prepočítame ich na otáčky za sekundu. Dostaneme 5 otáčiek za sekundu. Z toho spočítame kolko trvá jedna otáčka a z toho potom určíme čas, ktorý máme na riadenie elektromagnetu

$$n = 300 \text{ ot} \cdot \text{min}^{-1} = 5 \text{ ot} \cdot \text{s}^{-1}$$

Doba trvania jednej otáčky:

$$t_1 = \frac{1}{5} = 0,2 \text{ s}$$

Doba pretočenia o 260° :

$$t = \frac{0,2}{360} \cdot 260 = 0,1444 \text{ s}$$

Pre prečtu s týmito časmi môžeme použiť elektromagnet EMS 4210 - 1, ktorý vyrába MEZ Postřelmov. Tento elektromagnet je určený pre jednosmerné napájacie napätie 24V. Hodnoty získané meraním na tomto elektromagnete pre dva rôzne závislosti /5 mm a 10,5 mm/ sú prehľadne usporiadane v tabuľke č.4.1 a č.4.2. Elektromagnet bol meraný v polohe zvislej.

P.č.	Dráha kotvy /mm/	Čas príťahu /ns/
1.	5	23,1
2.	5	23,1
3.	5	22,9
4.	5	23,0
5.	5	23,0
6.	5	23,1
7.	5	23,0
8.	5	23,1
9.	5	23,1
10.	5	23,2

Tabuľka č.4.1.

P.č.	Dráha kotvy /mm/	Čas príťahu /ns/
1.	10,5	55,9
2.	10,5	56,0
3.	10,5	56,0
4.	10,5	56,7
5.	10,5	55,8
6.	10,5	55,7
7.	10,5	55,8
8.	10,5	55,7
9.	10,5	55,8
10.	10,5	55,9

Tabuľka č.4.2.

5. VYPRACUJTE KONŠTRUKCÓNÝ NÁVPH NA OVIEDANIE PLATÍM S MECHANICKÝM ZOSILENÍM PRE LISTOVÝ STROJ RL 600

5.1. Listový stroj RL 600

Listovka RL 600 je rýchloběžný listový stroj pre použitie hlavně na moderných tryskových stavových pneumatických a vodných, ktoré dosahujú rýchlosť asi do 650 prehodov útku za minútu /8/, /11/.

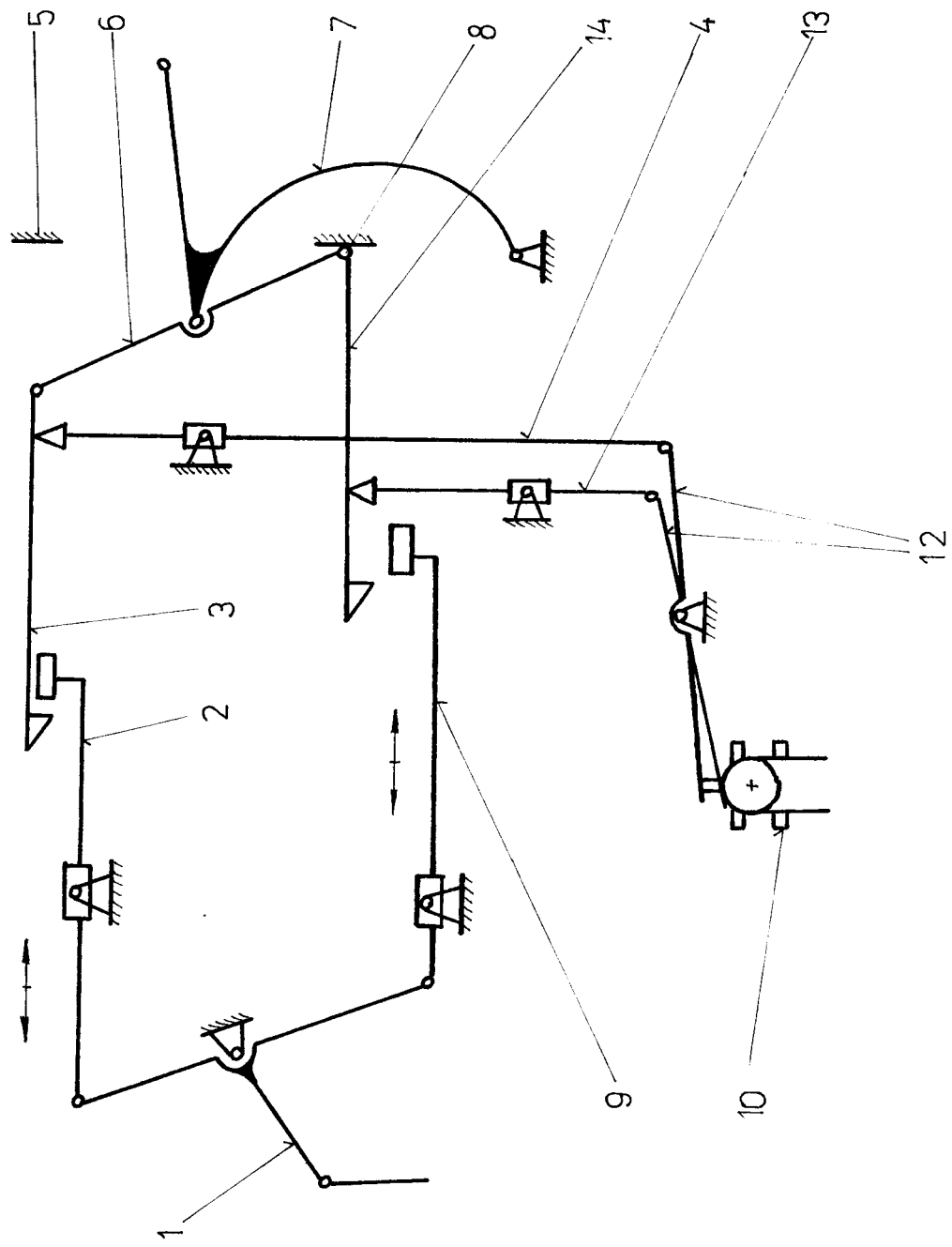
5.2. Princíp listového stroja PL 600

PL 600 je mechanický negatívny listový stroj, ktorý pracuje na princípe Hattersley, tzn., že tento listový stroj má balanční páku opatrenú na oboch koncoch kačkom /11/.

Listový stroj systému Hattersley na obr.5.1. pracuje tak, že pohyblivé nože 2, 9 unášajú po zavesení platinu 3, 14 v smere svojho pohybu. Tým dochádza zároveň k pohybu balančnej páky 6, ktoré je spojené s platinami. Pretože na balanční páku v bode A je pomocou tiahla pripojený list, vykonáva tento pohyb zároveň s balančnou pákou aj list. Signál o zavesení platinu prenáša čítacie zariadenie s kolíčkovou kartou pomocou mechanických prevodov na platinu.

Listový stroj PL 600, ktorého rez je znázornený v prílohe 1, pracuje sice podobne ako listový stroj systému Hattersley, líše sa však v niektorých detailoch.

Na páke 1 je zavesený pomocou tiahla list, ktorý je staňovaný pružinami. Páka 1 je spojená s pákou 3 pomocou tiahla



Obr. č.5.1.

2. Na páske 3 je balančné páka 11 opatrené na oba koncoch háčkami 5, otočné okolo pohyblivého stredu A. Bod A, pokiaľ páka 3 nekoná pohyb, je totožný so stredom kývajúcej sa traverzy 4, ktoré má v tomto bode pevný stred. Pohyb traverzy 4 je budený excentrický uložením hriadeľom. Balančné páka 11 s háčikmi 5, je totožné platinám systému Hatterslay.

Signál pre zavesenie háčikov vydáva kartový kolíčkový mechanizmus 10, ktorý nepriamo ovláda zámky 6 cez pásky 8. Pásky 8 sú spojené so zámkkami 6 pružinami 12, ktoré majú väčšiu tuhost ako pružiny 13, ktoré protihéčiky stahujú k doreazom 7.

5.3. Činnosť listového stroja RL 600

Kartový kolíčkový mechanizmus 10 /viď príloha 1/ sa otáča konštantnými otáčkami 8 krát pomalšie ako hriadeľ listového stroja RL 600. Ak má dať signál k zahaknutiu háčikov 5 so zámkkami 6, zdvihne pomocou kolíčka 9 pásku 8. Páska 8 prenesie svoj pohyb pomocou pružiny 12 na zámok 6. Tento sa postaví do cesty háčiku 5 na balančnej páke 11. Balančné páka 11 koná kívny pohyb okolo bodu A následkom toho, že má zadné plošky háčikov 5 umiestnených na balančnej páke 11 doseda traverza 4, ktorá koná kívny pohyb okolo svojho pevného stredu v bode A a taktiež prenáša svoj pohyb na balančnú páku 11. Pohyb traverzy 4 je odvodený od excentricky uloženého hriadeľa, na ktorý je pripojené pomocou tiahla. Ak tlačí traverza napr. na horný háčik, začne byt uniesať smerom doprava tak dlho až dojde k zahaknutiu háčika s horným zámkom. Teraz sa traverza začne od horného zámknutého háčika oddialovať a začne uniesať dolný háčik. Tým, že došlo k uzamknutiu

tiu horrého háčika, dolný háčik unášaný traverzou záčne pohybovať celou balančnou pákou a týto sa začne natáčať už nie okolo bodu A, ale okolo uzamknutého horného háčika. Tým dochádza k presúvaniu bodu A a tak aj k pohybu zakrivenej páky 3.

Táto potom pomocou tiahla 2 prenáša svoj pohyb na páku 1. Páka 1 prenáša svoj pohyb cez tiahla priamo na list a takto realizuje jeho zdvih. Ak má dôjsť k uvoľneniu háčika 5, narazí traverza na zadnú plošku háčika 5. Tým dôjde k uvoľneniu zámku 6, ktorý pružina 13 stiahne na doraz 7. Takto odomknutý háčik 5 sa potom pohybuje s traverzou 4 smerom dolava. Pri zamknutom dolnom háčiku dochádza takto ku stahu listu. Ak má zostať list zdvihnutý behom viacerých prehodov útku, uzamknú sa obidve háčiky a list zostane v hornej polohe. Ak nemá dôjsť k uzamknutiu háčika, kertový mechanizmus nedá signál k uzamknutiu tzn., že neobsehuje kolíček potrebný ku zdvihu páčky.

Listový stroj RL 600 pracuje s polovičnými otáčkami stavu t.j. s 300 ot./min. Dvíha maximálne 20 listov stavu. Rozbež jednotlivých listov je 12 mm. Zdvih listov riadených listovým strojom RL 600 je nútenský, stah sa realizuje pomocou pružín /negatívny/.

5.4. Elektromechanický prevodník

Zámerom tejto práce je navrhnutie zariadenia, ktoré by bolo schopné riadiť zapínanie a vypínanie háčikov a zámkov listového stroja RL 600. Na rozdiel od súčasného riešenia tohto problému by malo mať schopnosť prijímať elektrické riadiace impulzy a tieto meniť na mechanické impulzy, ktoré by boli zosilnené mechanickým pohonom. Navrhované zariadenie by malo reagu-

dit kartový kolíčkový mechanizmus.

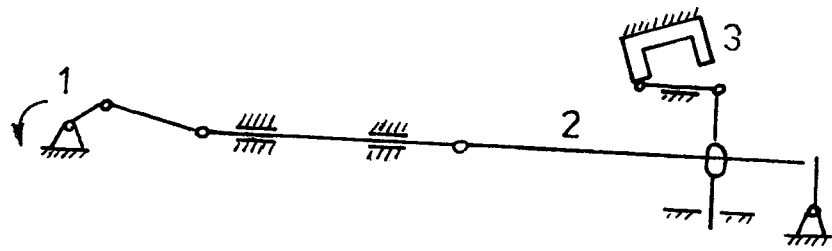
5.5. Alternatívne riešenia

Navrhnutý elektromechanický prevodník /ďalej len prevodník/ je vlastne výsledkom niektorých alternatívnych riešení, ktoré súce predstavujú určitú možnosť, ale sú buď náročné na výrobu a tým sa stávajú cenové náročnými, alebo sú riešené tak, že nevyhovujú bud z hľadiska rézov alebo z hľadiska zbytočnej zotrvačnosti. Všetky riešenia až na jedno majú pohon realizovaný pomocou vačky, ktorá predstavuje plynulý chod a môže zabezpečiť určitú klúdovú výdrž. Táto výdrž sa nedá realizovať na klúkovom mechanizme. V nasledujúcom texte bude uvedené niektoré riešenia.

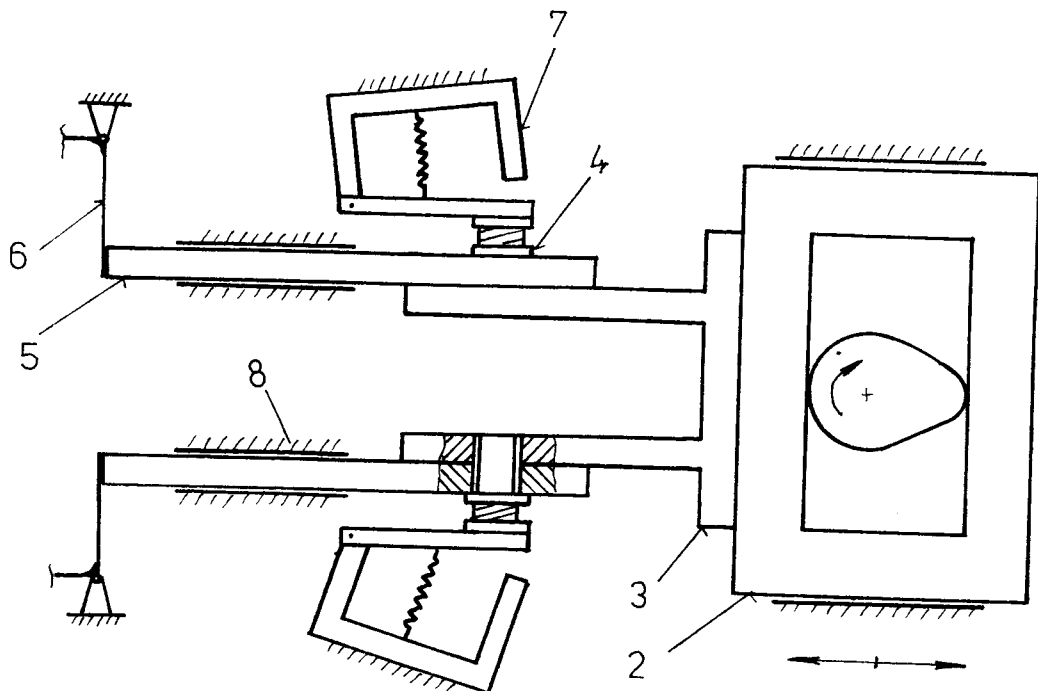
5.5.1. Prevodník s klúkovým pohonom

Tento prevodník má realizovaný pohon pomocou klúky 1. Klúka sa otáča konštantnou rýchlosťou a tým zabezpečuje vrátny posúvny pohyb tyčky 2, ktorá je so svojej pôvodnej polohy vychýlované pomocou elektromagnetu 3. Elektromagnet je riadený mikropočítačom.

Nevýhodou tohto riešenia je väčší počet prevodov, ktorý zapričinuje určitú zotrvačnosť mechanizmu. Naviac na tomto zariadení sa nedá realizovať klúdová výdrž. Toto riešenie nie je vhodné aj z toho hľadiska, že ovládanie tyčky pre párne aj nepárne útky sú v rovine a vysúvajú sa naraz všetky, čo je nevýhodné z hľadiska práce elektromagnetu a tiež aj z hľadiska umiestnenia na rame listovky.



Obr. č.5.2. Schéma prevodníka s klukou



Obr.5.3. Schéma prevodníka s jednou vačkou

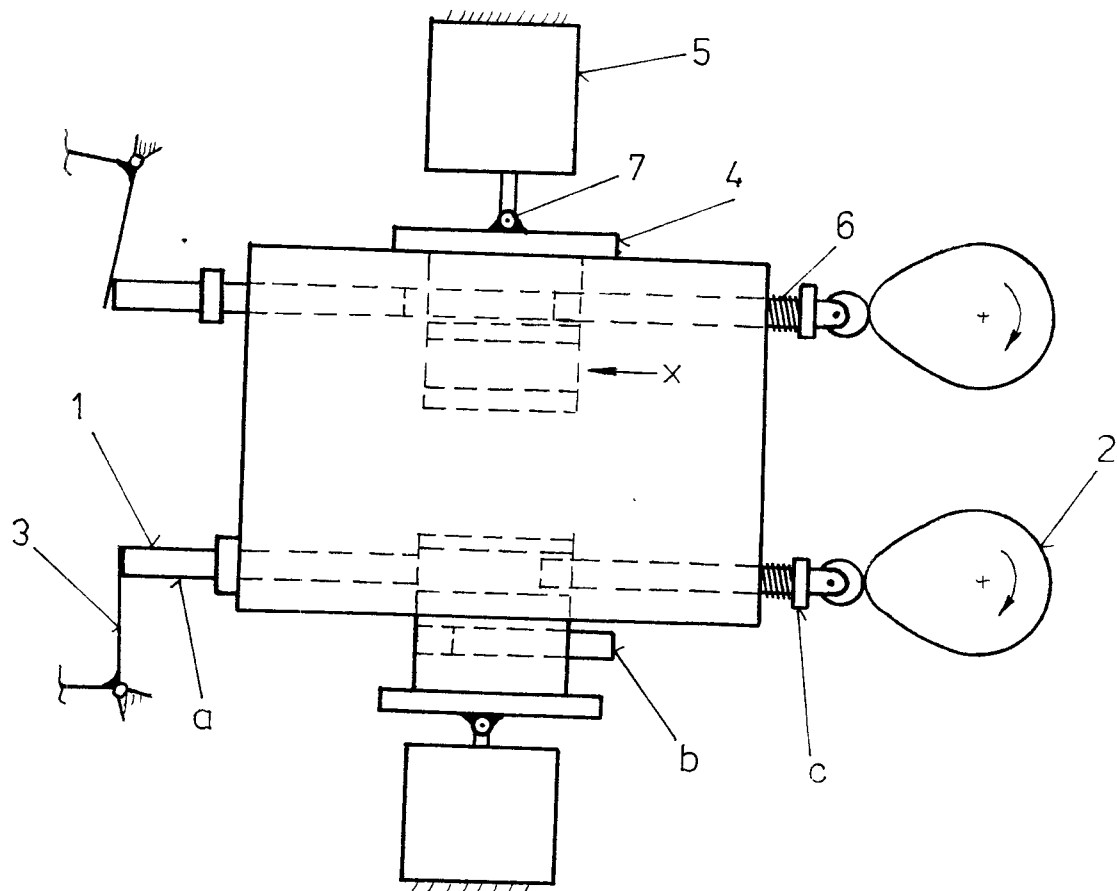
5.5.2. Prevodník s jednou vačkou

Prevodník s jednou vačkou pracuje tak, že vačka 1 posúva centrálny rám 2 s nastavbou 3, ktorá má vidlicovitú nastavbu s otvormi pre kolíčky 4. Na vidlice sú volne položené hranolky tiež s otvormi pre kolíčky. Hranolky sú vedené vo vodiacích 8 a opierajú sa o zámky 6 listovky. Ak má dôjsť k vysúšaniu zámku 6, vačka pohybuje rámon dolava. Vo vhodnom okamihu ele-

ktromagnet 7 vtlačí kolíček do otvorov keď sa prekrývajú. Tým dôjde ku spojeniu nástevby 3 s hranolkom 5 a realizuje sa prenos sily na zámok 6, ktorý sa jej pôsobením vychýli. Nevýhodou tohto mechanizmu je rázové namáhanie kolíčkov na strieh a tiež to, že v prípade zaradenia hranolkov 5 pre párne aj nepeérne útko sa obidva hranolky pohybujú súčasne.

5.5.3. Prevodník s dvoma vačkami

Prevodník s dvoma vačkami odstraňuje niektoré nedostatky predchadzajúcich alternatív. Tyčky 1 sú uložené v dvoch rovinách a pohon majú realizovaný pre každú rovinu jednu vačkou 2. Tvláštnosťou tyčiek 1 je, že sa skladajú z troch častí a, b, c. Časť a sa opiera o zámok 3, časť b je uložená v zásobníku 4 s dvoma otvormi, časť c je pritlačovaná ku kvačke 2 pružinou 6 a naviac je vybavená na konci kolieskom, aby nedochádzalo medzi tyčkou a vačkou pri odvalovaní k treniu. Zásobník je upevnený na kotvu 7 elektromagnetom 5, ktorý zásobník vysúva alebo zasúva. Ak chceme napr. aby sa zámok 3 vychýlil, zasunieme elektromagnetom 5 zásobník 4 dovnútra. Tým sa dostanú všetky diely a, b, c týčky 1 do jednej osi a zdvihi vačky 2 týčka 1 prenáša na zámok, ktorý sa vychýli. Ak nechceme prenášať zdvihi vačky na zámok, vysunieme elektromagnetom 5 zásobník 4 tak, aby na miesto otvoru s časťou týčky b sa dostal prázdný otvor zásobníka x. Časť c týčky 1 sa pohybuje potom vylíjom zdvihu vačky v prazdom otvore s zásobníka 4 a vychýlenie zámku 3 sa nede realizovať. Prevodník s dvoma vačkami umožňuje vzájomné natočenie vačiek, čím sa dá realizovať striedavo



Obr. č.5.4. Schéma prevodníka s dvoma vačkami

zdvih tyčiek pre párne útko a tyčiek pre nepárne útko.

Nevýhodou tohto prevodníka je negatívny chod tzn., že v jednom smere je tyčka tlačená vačkou a v opačnom smere pružinou, čo je pri zvýšovaní počtu otáčok predpokladom mňitej zotrvačnosti. Ďalšou nevýhodou je väčší počet stykajúcich plôch, čo vedie jednako k rázom a tiež k rýchlejšiemu vzniku v mechanizme.

5.6. Navrhovaný elektromagnetický prevodník

Využitím niektorých kladných vlastností vyššie uvedených elektromechanických prevodníkov vznikol prevodník, ktorý si podrobnejšie popíšeme v nasledujúcom texte. Navrhovaný prevodník je zložený z minimálneho počtu súčiastok, ktoré sú pomerne jednoduché, takže priamo reaguje ako na pohon tak aj na elektromagnety, ktoré riadia jeho činnosť.

5.6.1. Princíp navrhovaného prevodníka

Navrhovaný elektromechanický prevodník je určený pre vychýľovanie pačiek 8 listového stroja RL 600 znazornneného v prílohe 1. Celý prevodník je rozkreslený v samostatnej prílohe, ktorá obsahuje konštrukčný návrh a výrobné výkresy mechanickej časti prevodníka.

Ako vidieť na výkrese zostavy /príloha/ celý prevodník je uložený v ksrini 9, ktorá je nosným prvkom celej konštrukcie. V čelnej stene skrine 9 sú oválne otvory, v ktorých sa pohybujú tyčky 8. V bočných stenach skrine sú uložené ložiska celého zariadenia, ktoré nesú pohyblivú časť mechanizmu. Na viac sú v bočných stenach uchytené pomocou štyroch skrutiek výditka s otvormi, v ktorých sa pohybujú tiahla 19 elektromagnetov. Na spodnej a vrchnej stene sú pomocou štyroch skrutiek uchytené dosky 14 z nemagnetického materiálu, ktoré majú v sebe vyrobené obdĺžnikové otvory. Tieto otvory služia k vedeniu kotvičiek 17. Celá doska slúži zároveň ako dosadové plocha pre elektromagnety. Vo vrchnej a spodnej stene sú vyvrtané otvory, ktoré služia ako vedenie pre tiahla elektromagnetov.

Zároveň tieto steny plnia funkciu dosadovej plochy pre kotvičky 17. Celá skrina je vyrobená z plechu hrúbky 3 mm. Jednotlivé spoje skrine sú prevedené tvrdým spájkovaním.

Uloženie pohybového ústrojenstva zariadenie je následovné. V bočných stenach je vyrobený otvor. Do tohto otvoru zapadá puzdro 10, ktoré je vzbavené osadením pre tento otvor. V puzatre je tiež vysuštrúzené lôžko pre ložisko 2. V ložisku je uložený hriadeľ 15. Puzdro je v stene naviac uchytelené troma zapustnými skrutkami 1.

Osadený hriadeľ 15 uložený v ložiskách 2 prenáša pohybový moment z pohonnej jednotky na tyčky 8. Prenos momentu je následovný. Na vyčnievajúci koniec hriadeľa 15 zo skrine 9 je upevnená pohonná jednotka. Pohyb pohonnej jednotky prenáša hriadeľ na bočnice 3 sú uložené nosné tyče 21. Keďže pevnosti sú naviac poistené kolíkmi 5. Na nosných tyčiach 21 sú otočne uložené silonové oká 16, v ktorých sú zaskrutkované tyčky 8. Vyskrutkováním alebo zaskrutkováním tyčky 8 do oka 16 sa dôvodzí zdvih tyčky. Tyčka je v skú zaistená poistrou maticou 18. Presné rozteč tyčiek 8 v smere osi nosnej tyče 21 je vymedzené rozperkami 11, 12, 13. Konce tyčiek 8 sú vedené v otvarenoch čela skrine. Ako vidieť z výkresu zostavy, tyčky sú uložené v dvoch rovinách nad sebou. Konce tyčiek 8 sú upravené. Význam tejto úpravy si vysvetlime neskôr. Tyčka 8 je asi v polovici svojej dĺžky naviac vedená v očku tiahla 19. Toto tiahlo je pevne spojené s kotvičkou 17. Na tiahle 19 je pripájaná predložka 7, ktorá vymedzuje predpätie pružinky 6. Pružinka 6 udržuje tyčku 8 pomocou tiahla 19 v pracovnej polohe, keďže tyčka 8 naráža na pačku listového stroja RL 600.

5.6.2. Výpočet hriadeľa

Jedna tyčka 8 pri vychýlovaní páčky s zámkom listového stroja PL 600 prenáša osovú silu o veľkosti $F = 4,9 \text{ N}$. Pretože tyčky sú umiestnené do dvoch rovín zvlášť pre páne a nepárne útko a v zábere sú vždy iba tyčky jednej roviny budeme prevádzat výpočet iba pre polovičný počet tyčiek. Maximálny počet tyčiek v jednej rovine je 20. Obidve roviny sú od osi hriadeľa súmerne vzdialeré na ramene $r = 0,015 \text{ m}$. Z týchto údajov môžeme vypočítať maximálny moment, ktorý hriadeľ prenáša a na základe toho zvoliť priestor a materiál hriadeľa, ktorý by bol schopný prenášať tento moment.

Celková sila pôsobiaca na hriadeľ 15

$$F_c = 20 \cdot F = 20 \cdot 4,9 = 98,1 \text{ /N/}$$

/ 1 /

Dosadením sily F_c do vzorca pre výpočet momentu dostávame

$$M_k = 2 \cdot F \cdot r = 2 \cdot 98,1 \cdot 0,015 = 2,94 \text{ /Nm/}$$

/ 2 /

Aby sme mohli prenášať tento moment musíme zvoliť materiál hriadeľa, ktorý znesie takéto zataženie. Preto porovnávame výpočítané zataženie s dovoleným zatažením podľa rovnice.

$$M_k \leq W_k \cdot \tau_{\text{dov}}$$

/ 3 /

kde $W_k = 0,2 d^3$ a τ_{dov} pre ocel 11600 sa pohybuje v rozmedzí $\tau_{\text{dov}} = 4,5 \cdot 10^6 - 5,08 \cdot 10^6 \text{ /MPa/}$. Ak dosadíme za 1 hodnotu

$0,008 \text{ m}$ dostaneme po dosadení za M_k z /2/ do rovnice /3/ výraz

$$2,94 \leq 4,5$$

Vidíme, že materiál 11600 a $d = 0,008 \text{ m}$ vyhovuje danej bezpečnosti. Priemer $d = 0,008 \text{ m}$ je minimálnym prierezom kriadeľa.

5.6.2.1. Výpočet hmotnosti

Ak chceme navrhnúť pružinu, ktorá bude držať v zábere tyčky, musíme poznáť hmoty, ktoré budú proti nej pôsobiť. Vypočítame si preto hmoty jednotlivých súčiastok, ktoré budú pôsobiť na pružinu. Ak budeme vychádzať zo vzorca pre výpočet hmoty,

$$\rho = \frac{m}{V}$$

/ 4 /

Výraz /4/ upravíme pre vyjadrenie hmoty

$$m = \frac{\rho \cdot \pi \cdot d^2 \cdot l}{4}$$

/ 5 /

Po dosadení jednotlivých veličín do vzorca /5/, ktorého výpočet nebudem prevádztať, dostávame jednotlivé hmoty súčiastok.

- | | | |
|--------------------------|------------------------------|-------|
| Hmota tyčky 8 | $m_1 = 0,01578 \text{ /kg/}$ | / 6 / |
| Hmota krytvičky 17 | $m_2 = 0,00439 \text{ /kg/}$ | / 7 / |
| Hmota tiahla 19 | $m_3 = 0,00197 \text{ /kg/}$ | / 8 / |

Dosadením jednotlivých hmôr do vzťahov pre výpočet celkovej hmoty dostávame

$$m_c = m_1 + m_2 + m_3 = 0,0221 \text{ /kg/}$$

/ 9 /

celkovú hmotu, ktorá pôsobí proti sile pružiny.

5.6.2.2. Výpočet pružiny

Pre náš účel budeme uvážovať tlačnú pružinu z drôtu $d = 0,2 \cdot 10^{-3} \text{ /m/}$. Pružinu budeme navrhovať pre prípad, že hmota m_c / / tlačí na pružinu. Podľa nákresu predstavuje sila $F_1 = 0,21 \text{ /N/}$, ktorá je vyvolaná hmotou m_c , predpätie v pružine. Hodnota $x = 0,004 \text{ /m/}$ predstavuje stlačenie pružiny s teda sôvih kotvičky. Pre materiál pružiny 12090 má modul pružnosti v šmyku hodnotu $G = 83 \cdot 10^9 \text{ /MPa/}$. Stredný priemer pružiny si zvolíme $D_s = 3,2 \cdot 10^{-3} \text{ /m/}$. Sila na konci stlačenia je rovná hodnote $F_9 = 0,49 \text{ /N/}$. Potom je možné pre výsledné stlačenie napísat upravený vzťah

$$y_9 = F_9 \cdot \frac{x}{F_9 - F_1} = 7,16 \cdot 10^{-3} \text{ /m/}$$

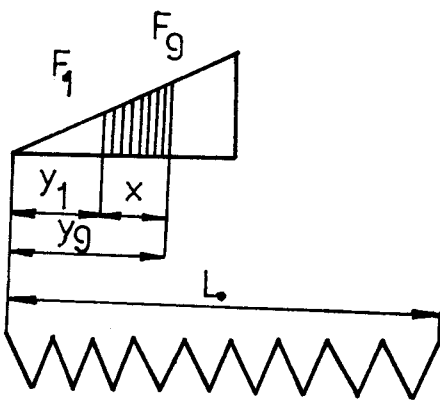
/ 1 /

Dosadením / 1 / do vzťahu pre výpočet počtu závitov dostaneme

$$n = \frac{y_9 \cdot G \cdot d^4}{8 \cdot F_9 \cdot D_s^3} = 7,3 \text{ závitu}$$

/ 2 /

Porovnaním maximálnej sily v pružine s jej maximálnym stlačením dostaneme jej konštantu tuhosti



Obr. č. 5.5. Pracovný diagram pružiny

$$C = \frac{F_9}{y_9} = 68,5 \text{ /Nm}^{-1}/$$

/ 3 /

Pre výpočet volenej dĺžky pružiny platí vzťah

$$L_0 \cong L_{DH} + 0,1 n + y_9$$

/ 4 /

kde $L_d = z \cdot d$ a $L_{DH} = 1,03 L_d$. Po dosadení veličín do vzťahu / 4 / dostávame pre voľnú dĺžku pružiny

Výpočet vačky

Pri návrhu pohonu elektromagnetického prevodníka som použil dréžkovú väčku s výkyvným zdvihákom a kladičkou.

Výpočet tejto väčky začneme zistením zdvirovej závislosti $\vartheta = f / \psi /$. Dalej volíme miery l, m, r_z, r_k /polomer kladičky/. Pri pootočení väčky o úhol ψ záujme vahadlo $\overline{AM_0}$ v reciprokom pohybe polohu \overline{AM} a úhol β_0 sa zmení o hodnotu ϑ . Obrys väčky vyjadríme polárnymi súradnicami r, φ /viď. tabuľka č. / 1 /.

Vyjdeme z trojuholníka A_0OM_0 . Dostaneme

$$\cos \beta_0 = \frac{m^2 + l^2 - / r_z + r_k / ^2}{2 ml}$$

$$\sin \delta = \frac{l}{r_z + r_k} \cdot \sin \beta_0$$

Z trojuholníka AMO je

$$r^2 = m^2 + l^2 - 2ml \cos / \beta_0 + \vartheta /$$

/ 1 /

$$\sin \frac{l}{r} \sin / \beta_0 + \vartheta /$$

/ 2 /

Nakoniec zostavíme podľa obr. č. 1 vztah medzi uhlami δ, ψ, ϕ /pomocný úhol/ a φ , t.j.

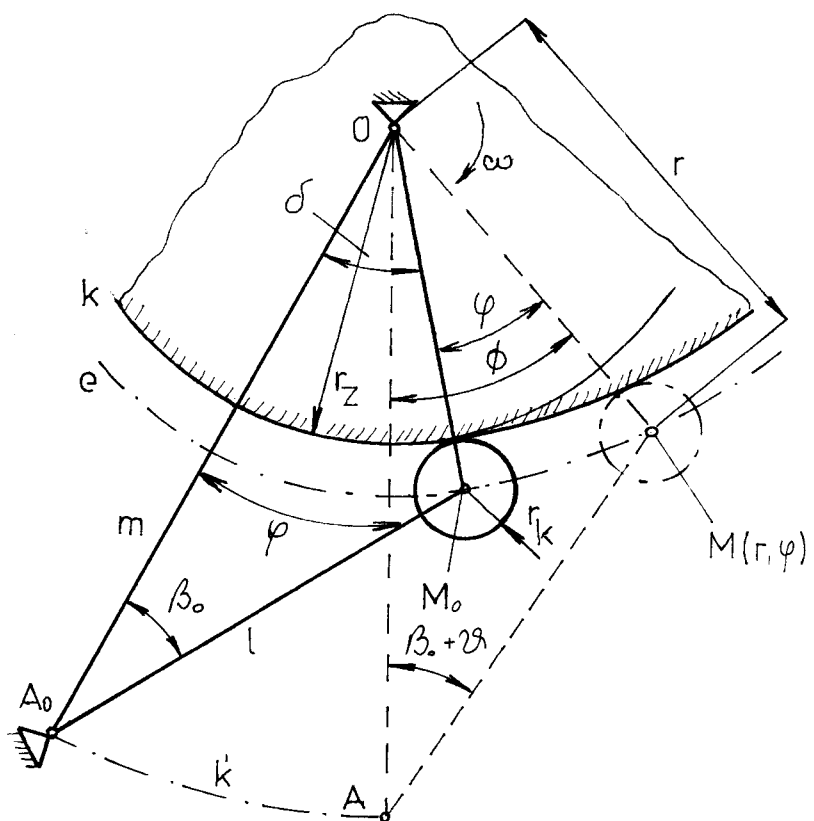
$$\varphi = \psi + \phi - \delta$$

/ 3 /

Na výpočet ω a ε som použil vzťahov

$$\omega = \frac{420 \vartheta_M \omega^2}{\mathcal{L}^2} \psi^2 - \frac{1680 \vartheta_n \omega^2}{\mathcal{L}^3} \psi^3 + \frac{2100 \vartheta_n \omega^2}{\mathcal{L}^4} \psi^4 - \frac{840 \vartheta_n \omega^2}{\mathcal{L}^5} \psi^5 \quad / 4 /$$

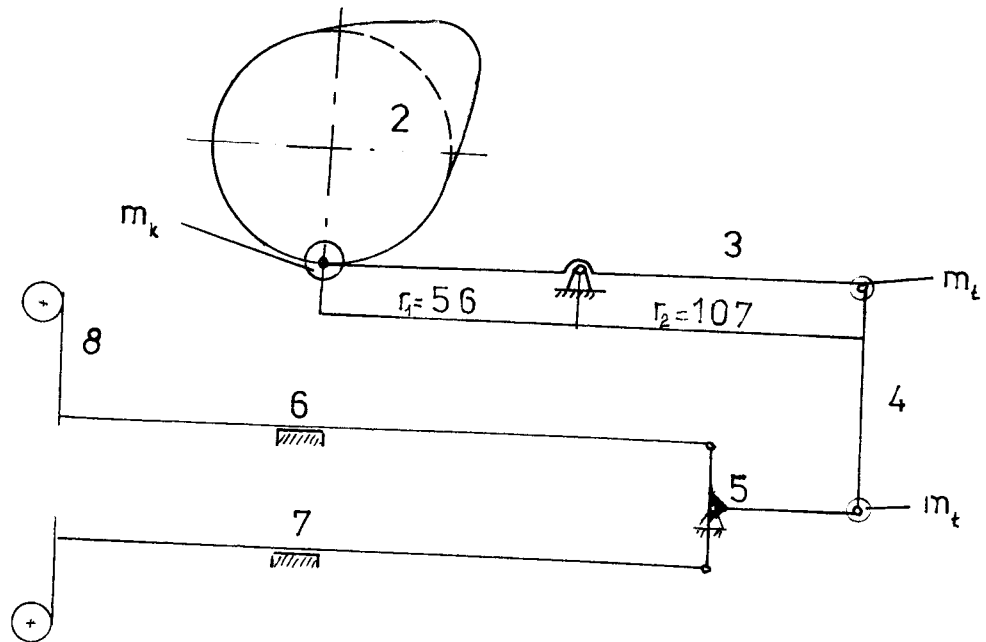
$$\varepsilon = \frac{840 \vartheta_n \omega^3}{\mathcal{L}} \psi - \frac{5040 \vartheta_n \omega^3}{\mathcal{L}^2} \psi^2 + \frac{8400 \vartheta_n \omega^3}{\mathcal{L}^3} \psi^3 - \frac{4200 \vartheta_n \omega^3}{\mathcal{L}^4} \psi^4 \quad / 5 /$$



Obr. č. 5.6.

5.6.2.3. Výpočet síl a kontrola bezpečnosti.

Pri výpočte síl a bezpečnosti musíme použiť redukčnú metódu. Do výpočtu zoberieme momenty a sily pôsobiacé od hákov na listovke cez výhadla až po vačku.



Obr. č. 5.7

Začneme výpočtom momentu zotrvačnosti člena 3.3 (výhadla). Tento moment sa skladá z troch častí.

$$I_3 = I_{31} + I_{32} + I_{33}$$

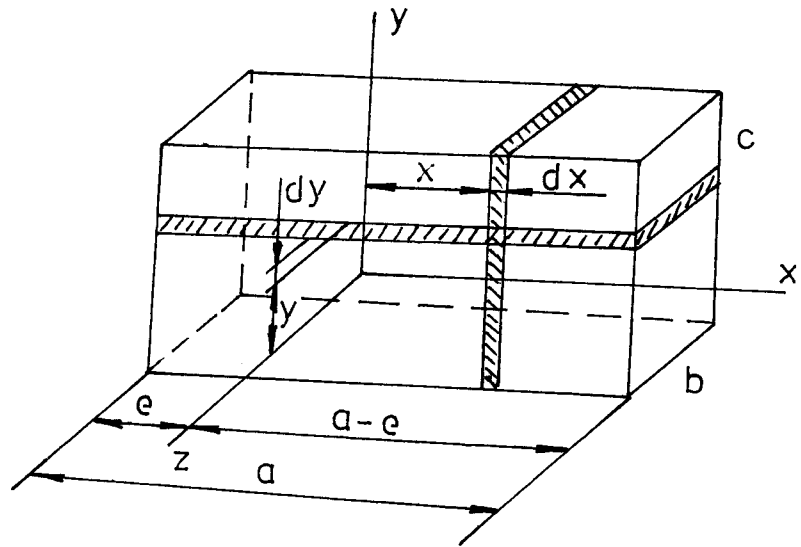
$$I_{32} = m_k \cdot r_1^2 = 2,5088 \cdot 10^{-4} \text{ kg m}^2$$

m_k - hmotnosť kladíčky

$$I_{33} = m_t \cdot r_2^2 = 6,606073 \cdot 10^{-4} \text{ kg m}^2$$

$$m_t = \frac{1}{2} m_4$$

m_4 - hmotnosť člena 4



Obr. č. 5.8.

$$I_{31} = I_{xz} + I_{xy}$$

$$I_{xz} = \int_{-\frac{c}{2}}^{\frac{c}{2}} a \cdot b \cdot \rho \cdot y^2 dy = a \cdot b \cdot \rho \int_{-\frac{c}{2}}^{\frac{c}{2}} y^2 dy = a \cdot b \cdot \rho \cdot \left[\frac{y^3}{3} \right]_{-\frac{c}{2}}^{\frac{c}{2}}$$

$$= \rho a \cdot b \cdot \left(\frac{\frac{c^3}{8}}{3} + \frac{\frac{c^3}{8}}{3} \right) = a \cdot b \cdot \rho \cdot \frac{c^3}{12}$$

$$a = 163 \text{ mm} = 0,163 \text{ m}$$

$$b = 0,01 \text{ m}$$

$$c = 0,02 \text{ m}$$

$$I_{xz} = a \cdot b \cdot \rho \cdot \frac{c^3}{12} = 8,476 \cdot 10^{-6} \text{ kg m}^2$$

$$I_{yz} = \int_{-e}^{a-e} c \cdot b \cdot \rho \cdot x^2 dx = c \cdot b \cdot \rho \int_{-e}^{a-e} x^2 dx$$

$$= c \cdot b \cdot \rho \left[\frac{(a-e)^3}{3} + \frac{e^3}{3} \right]$$

$$a = 0,163 \text{ m}$$

$$b = 0,01 \text{ m}$$

$$c = 0,02 \text{ m}$$

$$e = 0,056 \text{ m}$$

$$I_{yz} = 6,9556103 \cdot 10^{-4}$$

$$I_{31} = I_{xz} + I_{yz} = 7,0403703 \cdot 10^{-4} \text{ kg m}^2$$

$$I_3 = I_{31} + I_{32} + I_{33} = 1,6155243 \cdot 10^{-3} \text{ kg m}^2$$

Dalej pokračujeme výpočtom na člene 5, podobným spôsobom ako u I_3 .

$$I_5 = I_{51} + I_{52} + I_{53} + I_{54}$$

$$I_{53} = m_t \cdot r_5^2 = 5,193 \cdot 10^{-5} \text{ kg m}^2$$

$$I_{52} = m_{ht} \cdot r_{51}^2 = 8,6727278 \cdot 10^{-5} \text{ kg m}^2$$

m_{ht} - hmotnosť dvoch tyčiek $\emptyset 11 - 260$

$$I_{54} = \frac{\pi d^2}{4} \cdot 280 \cdot r_{52}^2 = 0,000004446 \text{ kg m}^2$$

$$I_{51}' = I_{xz}' + I_{yz}'$$

$$I_{xz}' = a \cdot b \cdot \rho \cdot \frac{c^3}{12} = 2 \cdot 6 \cdot 10^{-6} \text{ kg m}^2$$

$$a = 0,05 \text{ m}$$

$$b = 0,01 \text{ m}$$

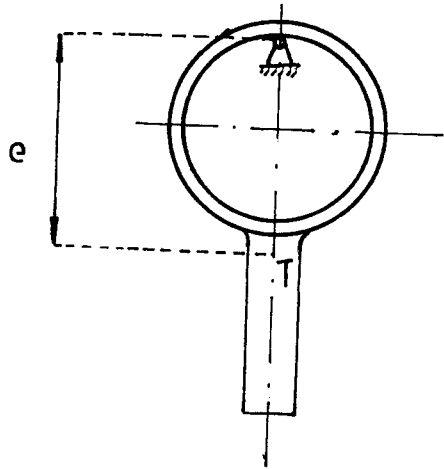
$$c = 0,02 \text{ m}$$

$$I_{yz}' = 3,3613333 \cdot 10^{-5} \text{ kg m}^2$$

$$I_{51}' = 3,6213333 \cdot 10^{-5} \text{ kg m}^2$$

$$I_5 = I_{51}' + I_{52} + I_{54} = 1,7927061 \cdot 10^{-4} \text{ kg m}^2$$

Pri zistovaní I_8 použijeme experimentálnu metódu určovania momentu zotrvačnosti



Obr. č. 5.9.

$$\text{námerané hodnoty: } t = 0,55 \text{ s}$$

$$m = 0,01 \text{ kg}$$

$$e = 0,045 \text{ m}$$

$$t = 2\pi \sqrt{\frac{I}{m \cdot g \cdot e}}$$

$$t^2 = 4\pi^2 \frac{I}{m \cdot g \cdot e}$$

$$I = \frac{t^2 m \cdot g e}{4\pi^2}$$

pre 20 hákov je

$$I_8 = 2,7584692 \cdot 10^{-4} \text{ kg m}^2$$

Po výpočtoch momentov zotrvačnosti pokračujeme redukciou /zisťujeme aké sily pôsobia medzi väčkou a vähadlom/.

$$\begin{aligned} \frac{1}{2} I_{\text{red}} \cdot \omega_3^2 &= \frac{1}{2} I_3 \cdot \omega_3^2 + \frac{1}{2} I_5 \cdot \omega_5^2 + \frac{1}{2} m_5 \cdot v_5^2 + \\ &+ \frac{1}{2} m_7 \cdot v_7^2 + \frac{1}{2} I_8 \cdot \omega_8^2 \end{aligned}$$

ω_5 pre malé uhly vypočítame zo vzťahu $\omega_5 r_5 = \omega_3 r_3$
 rýchlosť v_6 dostaneme zo vzťahu $v_6 = r_{51} \omega_5$
 ω_8 zasa zo vzťahu $\omega_8 = \frac{v_6}{r_8}$

Po dosadení do vzťahu pre výpočet I_{red} dostaneme I_{red} , ktorý vyrasobíme \mathcal{E} a dostaneme M_{red}

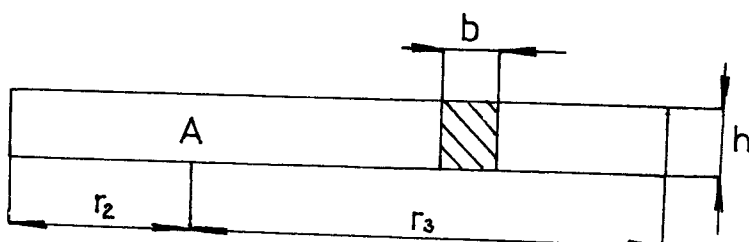
$$M_{red} = I_{red} \cdot \mathcal{E}$$

z ďalšieho vzťahu dostaneme silu F_2

$$M_{red} \cdot \omega_3 = F_2 r_3 \omega_3 - F_6 v_6$$

Sily F_6 a F_7 boli určené odmeraním ω_3 a \mathcal{E}_3 , sú v tabuľke v prílohe a ich výpočty sú pri výpočte vačky. V Prílohe sú aj výsledky počítania F_2 .

Kontrola výhľadla



Obr. č. 5.10.

Pri kontrole člena 3 predpokladáme, že najviac namahaný bude v bode A. V tomto bode ho budeme kontrolovať na chybę

$$\sigma_o = \frac{M_o}{W_o}$$

$$M_o = F \cdot r = 394,0613 \cdot 0,056 = 22,0674$$

$$W_o = \frac{b \cdot h}{6} = \frac{0,01 \cdot 0,02}{6} = 6,6667 \cdot 10$$

$$\sigma_o = 33,1$$

$$k_o = \frac{\sigma}{\sigma_o} = 3,3$$

Kontrola hriadeľa

$$\sigma_{oH} = \frac{M_o}{W_o} = \frac{32 \cdot F \cdot s}{d} = \frac{394,0613 \cdot 0,045 \cdot 32}{0,025} = 11,6 \text{ MPa}$$

$$\tau_k = \frac{M_k}{W_k} = \frac{16 \cdot 30 \cdot P}{d \cdot n} = \frac{16 \cdot 30 \cdot 300}{0,025 \cdot 300} = 3,1 \text{ MPa}$$

$$k_k = \frac{\tau}{\tau_k} = 19,3 \quad k_o = \frac{\sigma}{\sigma_{oH}} = 4,2$$

$$\frac{1}{k^2} = \frac{1}{k_o^2} + \frac{1}{k_k^2} \quad k = 4,19$$

$$s = 0,025 \text{ m}$$

$$F = 394,0613 \text{ N}$$

$$d = 0,025 \text{ m}$$

$$P = 300 \text{ W}$$

hriadeľ kontrolujeme v mieste predpokladaného najväčšieho zaťaženia / v najpravdepodobnejšom mieste porušenia /.

5.6.3. Činnosť navrhovaného prevodníka

Elektromagnetický prevodník, ako už sám názov hovorí je rozdelený na časť elektrickú /riadiacu/ a časť mechanickú /riadenú/. Pohon prevodníka vyslovzuje na hriadele 15 vrátny kryvný pohyb. Tento pohyb je prenášaný na tyčky 8, ktoré však už korajú pohyb posuvný. Pretože sú od osi hriadeľa 15 uložené symetrický v dvoch rovinách, raz sa vystúpne horná rada tyčiek a zasívne spodné rada tyčiek a naopak. Zdvih tyčky je rovnaký ako zdvih kolíčka na kartovom mechanizme listového stroja RL 600.

Ak chceme realizovať zdvih páčky 8 zámku listového stroja elektromagnet nedostane impulz a pružinka 6 tlačí tyčku 8 pomocou tiahla 19 do polohy v ktorej tyčka 8 narúša na páčku 8 zámku listového stroja a vychýluje ju. Tým sa realizuje uzamknutie háčika 5 listového stroja.

Ak nechceme aby došlo k uzamknutiu háčika, musíme dať impulz elektromagnetu, ktorý pritiahne kotvičku 17. Kotvička prenáša svôj pohyb pomocou tiahla 19, ktoré je s kotvičkou 17 pevne spojené na tyčku 8. Tyčka 8 je vedené v očku, vytvorenom na konci tiahla 19. Ak teda magnet pritiahne kotvičku 17 vychýluje zároveň tyčku 8 z jej pôvodnej polohy. Tyčka 8 v novej polohe nenarúša na páčku 8 zámku listového stroja a teda nepoužíva jej vychýlenie ale sa pohybuje mimo páčku 8.

Umiestnenie navrhovaného elektromechanického prevodníka je približne naznačené na obr. . Z tohto obrázku je zrejmé, že tento prevodník je navrhnutý ako nahradá kartového kolíčkového mechanizmu listového stroja RL 600. Ostatné mechanizmy listového stroja zostavajú nezmenené. Upravujú sa iba riadenia zám-

kov na ktoré pôsobí elektromechanický prevodník.

5.6.4. Pohon navrhovaného elektromagnetického prevodníka

Navrhovaný model elektromagnetického prevodníka bude po-
haňaný jednosmerným motorom o výkone 200 W a maximálnych otáč-
kach 1600 ot. min.⁻¹.

Od motora 35 bude pohyb prenášaný na vačku pomocou
Oldhamovej spojky 9. Pohyb vyvádzovaný vačkou bude ďalej po-
mocou vŕadiel S,6,7 prenášaný na hriadeľ navrhovaného elektro-
magnetického prevodníka.

Požadovaný kmitavý pohyb dosiahneme použitím vačky, ktorá
bude mať kľúčovú výdrž v hornej aj dolnej úvrati zhruba po šty-
ridsiatich stupňoch. Zdvih bude previehať v čase, keď sa vačka
pootočí o 140° . Vačka bude mať 300 ot. min^{-1} . Avšak v tom čase
/za minútu/ bude zaneseno 600 útkov, lebo elektromagnetický
prevodník pracuje s dvoma riedami tyčiek. Raz sa vysunie horná
rada a zasunie dolná a naopak.

V našom prípade by bolo výhodnejšie namiesto drážkovej
vačky a výkyvným zdvihákom a kladíčkou použiť vačku gubooidnú,
lenže tá je príliš náročné na výrobu. Podobne je to aj s ve-
hadlami, kde je namiesto odliatku použitý zvarenec. Zvarenec
som navrhol najmä kôli výrobe modelu v dielňach VŠST. Získať
odliatok by bolo ďaleko náročnejšie/zvarenec alebo jeden kus /.

Prenos pohybu z hriadeľa motora na hriadeľ vačky umožňu-
. je Oldhamová spojka, ktorá pripušťa určité presadenie os.
Skladá sa z troch častí - hnacia časť, križový kus a fast
hnaná.

Celé pohonné ústrojenstvo je uložené na spoločnej podložke. Ložiská sú uložené v ráme ložisiek, ktorý je zhotovený zo zlatiny. Ložiskový ram je kôli axiálnemu zabezpečeniu ložiske a taktiež kôli mazaniu uzavretý viečkami.

V konštrukčnej časti tejto diplomovej práce som rozkreslil dva modely pohonu elektromagnetického prevodníka. Oba modely sú prispôsobené výrobe v dielňach VŠST, z toho jeden je ako funkčný model určený kratkodobému použitiu.

6. ZÁVER

Na predchadzajúcich stranách diplomovej práce som sa pokúsil navrhnuť elektromagnetický prevodník pre ovládanie listového stroja.

Navrhnutý elektromagnetický prevodník rieší problém prenosu informácií z mikropočítača na listový stroj PL 600, ovládajúci pohyb listov tkacieho stavu, transformovaním elektrických impulzov na mechanický zosilnený zdvih tyčiek. V tomto štúdiu riešenia bol elektromagnetický prevodník navrhnutý iba ako model. Rozteč jednotlivých tyčiek ako aj hľavné rozmery modelu sú však prispôsobené podľa výkresovej dokumentácie rozmerom listového stroja PL 600.

Doterajšie riadenia a riadenia listoviek sičasne neposkytujú výhody, ktoré by malo priniesť riešenie navrhovaného prevodníka. Ide tu najmä o spojenie s mikropočítačom, čo umožní vysokú kapacitu a variabilnosť vzoru. Oproti súčasným stavom sa zvýši produkcia aj odstranením prestojov pri výmenе vzorov. Výmena vzoru pri navrhovanom riešení sa uskutoční v riadiacej jednotke, čiže výmena je okamžitá.

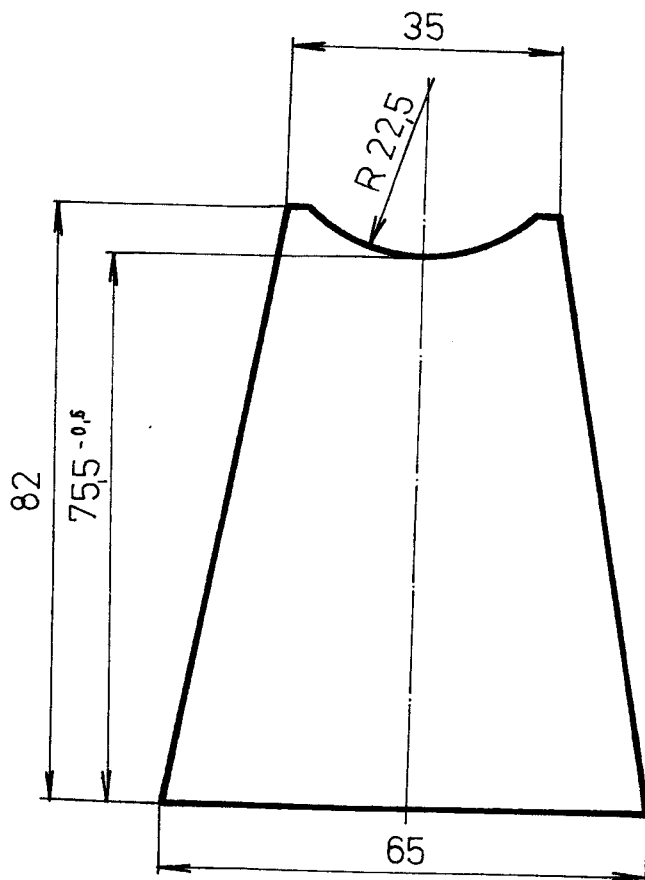
Navrhnutý elektromagnetický prevodník počas svojej činnosti pôsobí rázovo na páčky listového stroja PL 600, čo je určitou nevýhodou tohto riešenia.

Ďalším vývojom by sa mohla odstrániť táto nevýhoda aj tým, že posúvny pohyb, ktorý konajú ovládacie tyčky navrhnutého elektromagnetického prevodníka, by sa nahradil pohybom rotačným. Určité zlepšenie v práci prevodníka by sa dalo dosiahnuť aj použitím slabšej väčky. Tým by sa odstranil prenos výhadlami a znížili by sa dynamické sily pôsobiace na hnacie zariadenie.

Literatúra

- /1/ Talavášek O., Svatý V.: Bezčlnkové stavy. SNTL Praha 1975
- /2/ Vlk P.: Elektrické riadenie listového stroja. Diplomová práca, VSST Liberec, SF 1979
- /3/ Sedlický V., Werner K., Vlk P.: Štúdium možnosti použitia mikroprocesorov pre riadenie textilných strojov
Záverečná výskumná správa čílosť VŠST-PP-016.
VŠST Liberec, 1980
- /4/ Príspisy firmy Stäubli a Sulzer
- /5/ Bradský Z., Vrzala R.: Mechanika III, VŠST Liberec 1980
- /6/ Charvát J.: Mechanika II, VŠST Liberec, 1980
- /7/ Bradský Z., Jáč V.: Mechanika II, VŠST Liberec 1979
- /8/ Vrzal B.: Strojnícke tabuľky. SNTL Praha, 1970
- /9/ Bartoš J. a kol.: Strojnícke tabuľky, SNTL Praha, 1971
- /10/ Höschl C.: Tvarová pevnosť, VŠST Liberec, 1970

~



2 STOJAN

ZVARENEC

2

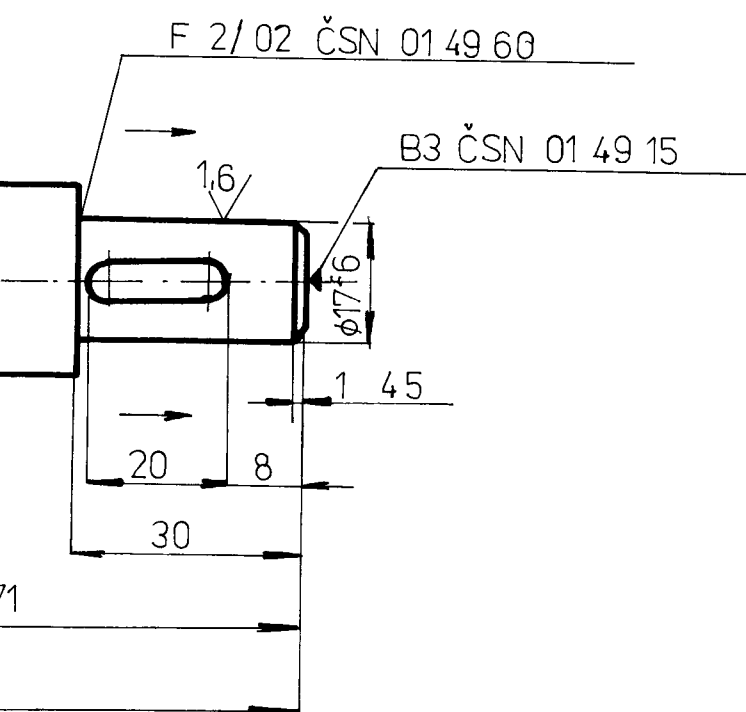
anbbo

1:1

STOJAN

01-TS-09-04

~ / 08 ✓ 16 ✓ 32 ✓ 63 ✓ /



1 HRIADEL

ČSN 425510

11600.1

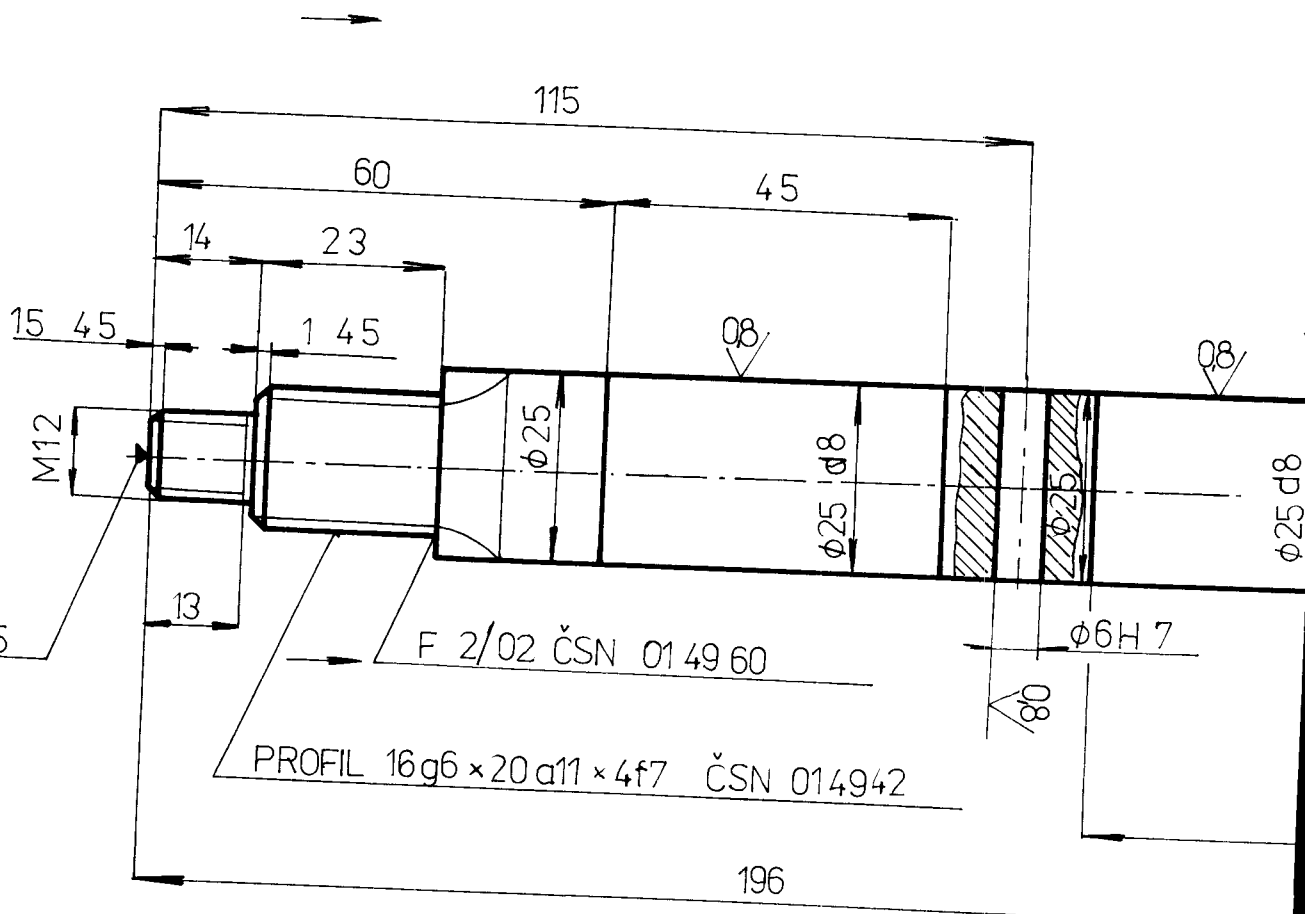
C

Kubík

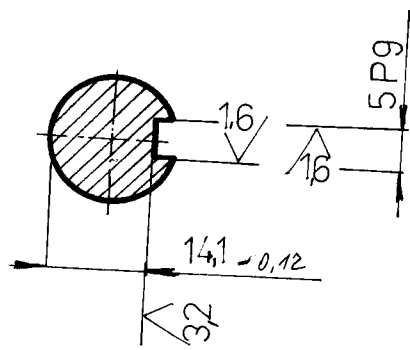
1:1

HRIADEL

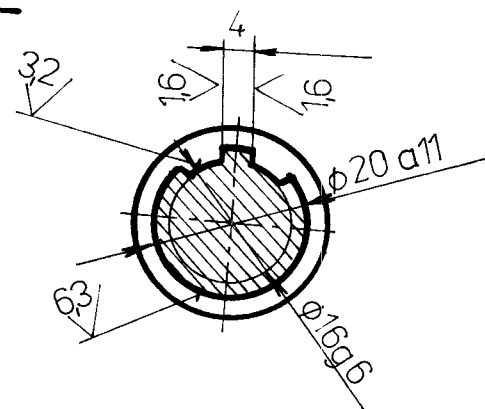
01-TS-09-03



A-A



B-B



Tabulka č. 1

P.č.	r [mm]	φ [°]	P.č.	r [mm]	φ [°]
1.	40,001791	0,993822	26.	40,520286	26,017254
2.	40,001817	1,9938243	27.	40,592936	27,019948
3.	40,001930	2,9938292	28.	40,672004	28,022716
4.	40,002226	3,9938457	29.	40,757640	29,025520
5.	40,002836	4,9938773	30.	40,850184	30,028344
6.	40,003926	5,9939348	31.	40,949659	31,031118
7.	40,005679	6,9940262	32.	41,036220	32,033897
8.	40,008308	7,9941635	33.	41,170155	33,036345
9.	40,012046	8,9943577	34.	41,291434	34,038737
10.	40,017143	9,9946226	35.	41,420207	35,040751
11.	40,023864	10,994973	36.	41,556556	36,042482
12.	40,032489	11,995418	37.	41,700543	37,043603
13.	40,043306	12,995974	38.	41,852211	38,044635
14.	40,056612	13,996653	39.	42,011581	39,044901
15.	40,072709	14,997468	40.	42,178057	40,044516
16.	40,091902	15,998432	41.	42,353422	41,043323
17.	40,114500	16,999552	42.	42,535837	42,042449
18.	40,140816	18,000837	43.	42,725646	43,038593
19.	40,171135	19,002296	44.	42,923370	44,034740
20.	40,205778	20,00393	45.	43,128314	45,0296
21.	40,245033	21,005743	46.	43,340561	46,023688
22.	40,289190	22,00773	47.	43,559976	47,016318
23.	40,338529	23,009886	48.	43,786405	47,872775
24.	40,393319	24,012203	49.	44,019675	48,997483
25.	40,453821	25,014665	50.	44,259597	49,985864

Tabuľka č. 2

P.č.	ϑ [rad]	ω [s^{-1}]	ε [s^{-2}]
1.	$32,64734 \cdot 10^{-9}$	$571,77737 \cdot 10^{-6}$	7,433702
2.	$513,40787 \cdot 10^{-9}$	$4,476186 \cdot 10^{-3}$	29,097303
3.	$2,554362 \cdot 10^{-6}$	0,0147810	63,574338
4.	$7,9332726 \cdot 10^{-6}$	0,034274	109,7142
5.	$19,031228 \cdot 10^{-6}$	0,065476	166,35545
6.	$38,772637 \cdot 10^{-6}$	0,110647	232,38517
7.	$70,567508 \cdot 10^{-6}$	0,171799	306,72625
8.	$118,25601 \cdot 10^{-6}$	0,250704	388,35675
9.	$186,05525 \cdot 10^{-6}$	0,348907	476,28421
10.	$278,50828 \cdot 10^{-6}$	0,467731	569,56518
11.	$400,43519 \cdot 10^{-6}$	0,608292	667,49453
12.	$556,88644 \cdot 10^{-6}$	0,771501	768,61878
13.	$753,0982 \cdot 10^{-6}$	0,958081	872,70347
14.	$994,44975 \cdot 10^{-6}$	1,168570	978,76842
15.	0,001286	1,303334	1086,0079
16.	0,001634	1,662971	1193,8939
17.	0,002044	1,946324	1301,5755
18.	0,002521	2,254489	1408,4783
19.	0,003071	2,586818	1514,0035
20.	0,003699	2,942934	1617,5874
21.	0,004411	3,322335	1718,7007
22.	0,005212	3,724401	1816,8479
23.	0,006107	4,148405	1911,5660
24.	0,007101	4,593519	2002,4259
25.	0,008198	5,058817	2089,0261
26.	0,009403	5,543291	2171,0054

P.č.	r [mm]	$\varphi [^\circ]$	P.č.	r [mm]	$\varphi [^\circ]$
105.	58,497639	102,6257	123.	59,739000	120,29450
106.	58,622210	103,59371	124.	59,760856	121,28862
107.	58,739497	104,56344	125.	59,799446	122,28362
108.	58,849590	105,5349	126.	59,815050	123,27942
109.	58,952615	106,50608	127.	59,827984	124,27593
110.	59,048709	107,48297	128.	59,838531	125,27306
111.	59,138046	108,45955	129.	59,846938	126,27082
112.	59,220785	109,43778	130.	59,853505	127,26903
113.	59,297120	110,41763	131.	59,858638	128,26767
114.	59,367256	111,39907	132.	59,862379	129,26666
115.	59,431393	112,38205	133.	59,865085	130,26593
116.	59,489796	113,36052	134.	59,865444	131,26532
117.	59,542687	114,35243	135.	59,868177	132,26500
118.	59,590300	115,33972	136.	59,869937	133,26489
119.	59,632918	116,32832	137.	59,869467	134,26474
120.	59,670824	117,31817	138.	59,869761	135,26466
121.	59,704269	118,30920	139.	59,870033	136,26459
122.	59,733570	119,30134	140.	59,870300	137,26452

P.č.	γ [rad]	ω [s^{-1}]	ε [s^{-2}]
113.	0,353612	6,0335514	-2240,228
114.	0,354926	5,5314156	-2196,059
115.	0,356129	5,0473911	-2086,957
116.	0,357224	4,5825667	-2000,287
117.	0,358215	4,1379509	-1909,530
118.	0,359107	3,7144651	-1814,524
119.	0,359406	3,312936	-1716,300
120.	0,360616	2,9340888	-1615,171
121.	0,361242	2,5785398	-1511,464
122.	0,361790	2,2467882	-1405,919
123.	0,362266	1,939209	-1298,993
124.	0,362674	1,6560448	-1191,278
125.	0,363021	1,3973978	-1083,476
126.	0,363311	1,1632215	-976,1965
127.	0,363552	0,9533126	-870,1723
128.	0,363747	0,7673021	-766,1448
129.	0,363902	0,604647	-664,9011
130.	0,364024	0,4646212	-567,2953
131.	0,364115	0,3463069	-474,1816
132.	0,364183	0,2485849	-386,3045
133.	0,364230	0,1701258	-304,8495
134.	0,364261	0,1093805	-230,6743
135.	0,364281	0,0645704	-164,8787
136.	0,364292	0,0336777	-106,4754
137.	0,364297	0,0144357	-62,63230
138.	0,364299	0,0043188	-28,42126
139.	0,364299	$531,76188 \cdot 10^{-6}$	-7,137571
140.	0,364300	$-9,160398 \cdot 10^{-9}$	$-4,465389 \cdot 10^{-3}$

P.č.	ψ [rad]	ω [s^{-1}]	ξ [s^{-2}]
84.	0,258801	22,143695	-1741,070
85.	0,263791	21,736159	-1842,368
86.	0,268685	21,306104	-1939,088
87.	0,273479	20,854597	-2030,981
88.	0,278169	20,382765	-2117,808
89.	0,282748	19,891786	-2199,342
90.	0,287214	19,382887	-2275,371
91.	0,291563	19,857345	-2345,688
92.	0,295790	18,316479	-2410,103
93.	0,299892	17,76165	-2468,456
94.	0,303867	17,194258	-2520,575
95.	0,307712	16,615736	-2566,318
96.	0,311424	16,027549	-2605,559
97.	0,315001	15,431188	-2638,185
98.	0,318341	14,828169	-2664,106
99.	0,321744	14,220025	-2683,244
100.	0,324909	13,608306	-2695,545
101.	0,327934	12,99457	-2700,971
102.	0,330819	12,380384	-2699,507
103.	0,333564	11,767314	-2691,157
104.	0,336171	11,156923	-2675,946
105.	0,338639	10,550768	-2653,924
106.	0,340970	9,9503879	-2625,162
107.	0,343165	9,3573064	-2589,755
108.	0,345227	8,773214	-2547,822
109.	0,347156	8,1990008	-2499,507
110.	0,348956	7,6366772	-2444,980
111.	0,350630	7,0874413	-2384,438
112.	0,352181	6,5526363	-2318,104

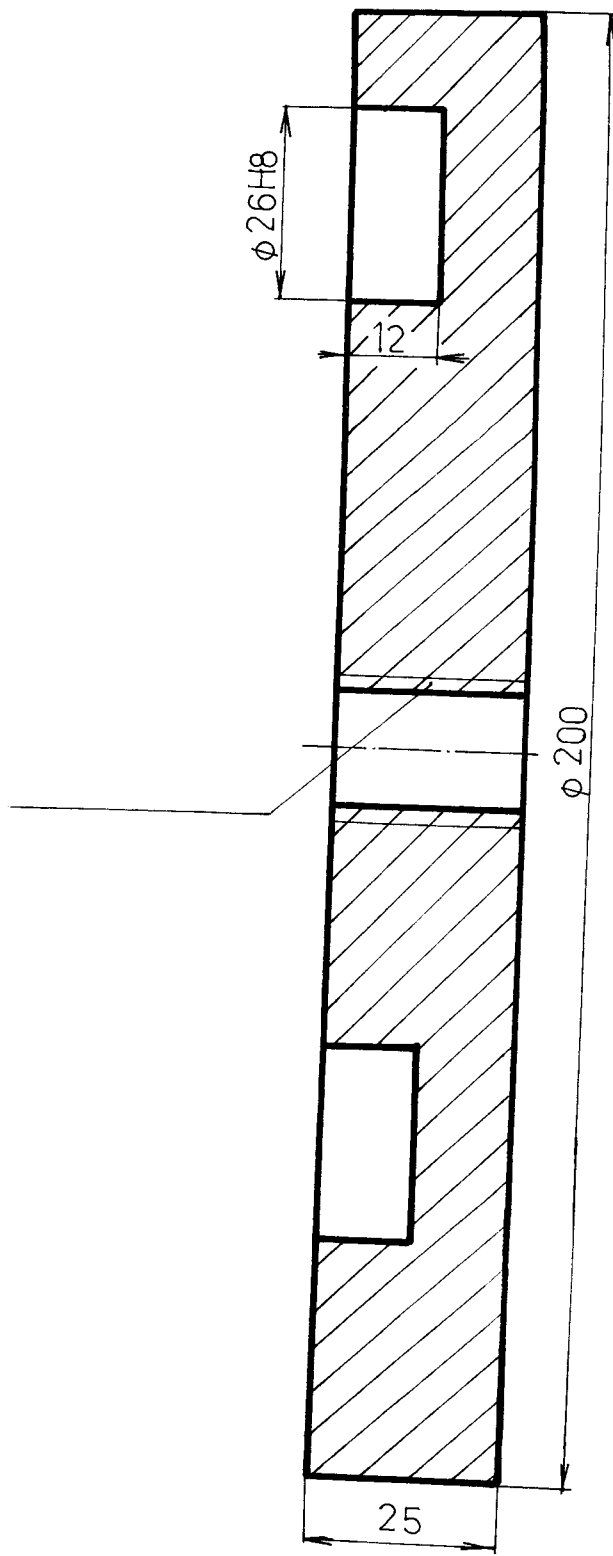
P.č.	ϑ [rad]	ω [s^{-1}]	ε [s^{-2}]
55.	0,100627	21,746235	1e39,9839
56.	0,105619	22,153216	1738,5787
57.	0,110701	22,536641	1e32,861
58.	0,115867	22,89556	1523,0996
59.	0,121112	23,229085	1409,3722
60.	0,126430	23,536392	1292,5646
61.	0,131815	23,816722	1172,3701
62.	0,137260	24,069385	1049,2884
63.	0,142760	24,293759	923,62552
64.	0,153896	24,489292	795,69292
65.	0,159519	24,655505	665,80063
66.	0,159519	24,791988	534,28677
67.	0,165169	24,898407	401,45681
68.	0,170841	24,974502	267,64293
69.	0,176526	25,020086	133,1733
70.	0,182218	25,035047	-1,622544
71.	0,187910	25,019348	-136,4144
72.	0,193595	24,973029	-270,8721
73.	0,199266	24,896202	-404,6661
74.	0,204916	24,789055	-537,4684
75.	0,210538	24,651852	-668,9527
76.	0,216126	24,48493	-798,7957
77.	0,221672	24,288696	-926,6774
78.	0,227170	24,06335	-1052,281
79.	0,232614	23,810298	-1175,297
80.	0,237997	23,52931	-1295,419
81.	0,243314	23,221364	-1412,346
82.	0,248557	22,887218	-1525,786
83.	0,253721	22,527698	-1635,453

P.č.	ν [rad]	ω [s^{-1}]	ϵ [s^{-2}]
27.	0,010720	6,045848	2248,0208
28.	0,012154	6,565326	2319,7607
29.	0,013707	7,100494	2385,2645
30.	0,015384	7,650061	2446,3645
31.	0,017188	8,212682	2500,7437
32.	0,019121	8,785967	2548,9068
33.	0,021185	9,371481	2590,6845
34.	0,023384	9,964756	2625,9331
35.	0,025718	10,56529	2654,534
36.	0,028189	11,17156	2675,3928
37.	0,030799	11,792042	2691,4387
38.	0,033548	12,395157	2699,6237
39.	0,036437	13,009351	2700,9222
40.	0,039465	13,623056	2695,3301
41.	0,042632	14,234708	2682,8643
42.	0,045939	14,842747	2663,7618
43.	0,049383	15,445624	2637,4792
44.	0,052963	16,041805	2604,6919
45.	0,056678	16,629777	2565,2936
46.	0,060526	17,208048	2519,3959
47.	0,064504	17,775155	2467,1264
48.	0,068609	18,329664	2428,6294
49.	0,072839	18,870177	2344,0647
50.	0,077191	19,395334	2273,6059
51.	0,081659	19,903817	2217,4447
52.	0,086242	20,39435	2175,7803
53.	0,090934	20,865706	2121,8287
54.	0,095730	21,316709	1936,817

P.č.	r[mm]	$\varphi [^{\circ}]$	P.č.	r[mm]	$\varphi [^{\circ}]$
51.	44,505962	50,972685	78.	52,780242	76,955835
52.	44,758546	51,957879	79.	52,780242	77,910004
53.	45,017110	52,941387	80.	52,072799	78,853720
54.	45,281396	53,923158	81.	53,351498	79,797107
55.	45,551135	54,903145	82.	53,646015	80,740284
56.	45,826040	55,881313	83.	53,926041	81,663373
57.	46,105815	56,857627	84.	54,201272	82,626496
58.	46,390148	57,832068	85.	54,471421	83,575704
59.	46,678718	58,804618	86.	54,736210	84,513329
60.	46,971190	59,775276	87.	54,955382	85,457275
61.	47,267222	60,744042	88.	55,248088	86,401726
62.	47,566463	61,710927	89.	55,495896	87,346795
63.	47,868552	62,675951	90.	55,736830	88,29253
64.	48,173122	63,639144	91.	55,971164	89,239221
65.	48,479802	64,600540	92.	56,198847	90,186781
66.	48,788212	65,560188	93.	56,419601	91,13537
67.	49,097971	66,518138	94.	56,633461	92,085088
68.	49,408693	67,474455	95.	56,840118	93,035985
69.	49,719995	68,429201	96.	57,039510	93,950735
70.	50,031483	69,382458	97.	57,231550	94,941728
71.	50,342775	70,334304	98.	57,416156	95,896703
72.	50,653481	71,284829	99.	57,593266	96,853164
73.	50,963217	72,234127	100.	57,762842	97,811165
74.	51,271602	73,182296	101.	57,924875	98,770734
75.	51,578259	74,129442	102.	58,079338	99,731971
76.	51,882815	75,075672	103.	58,226260	100,69485
77.	52,184902	76,021099	104.	58,365680	101,65942

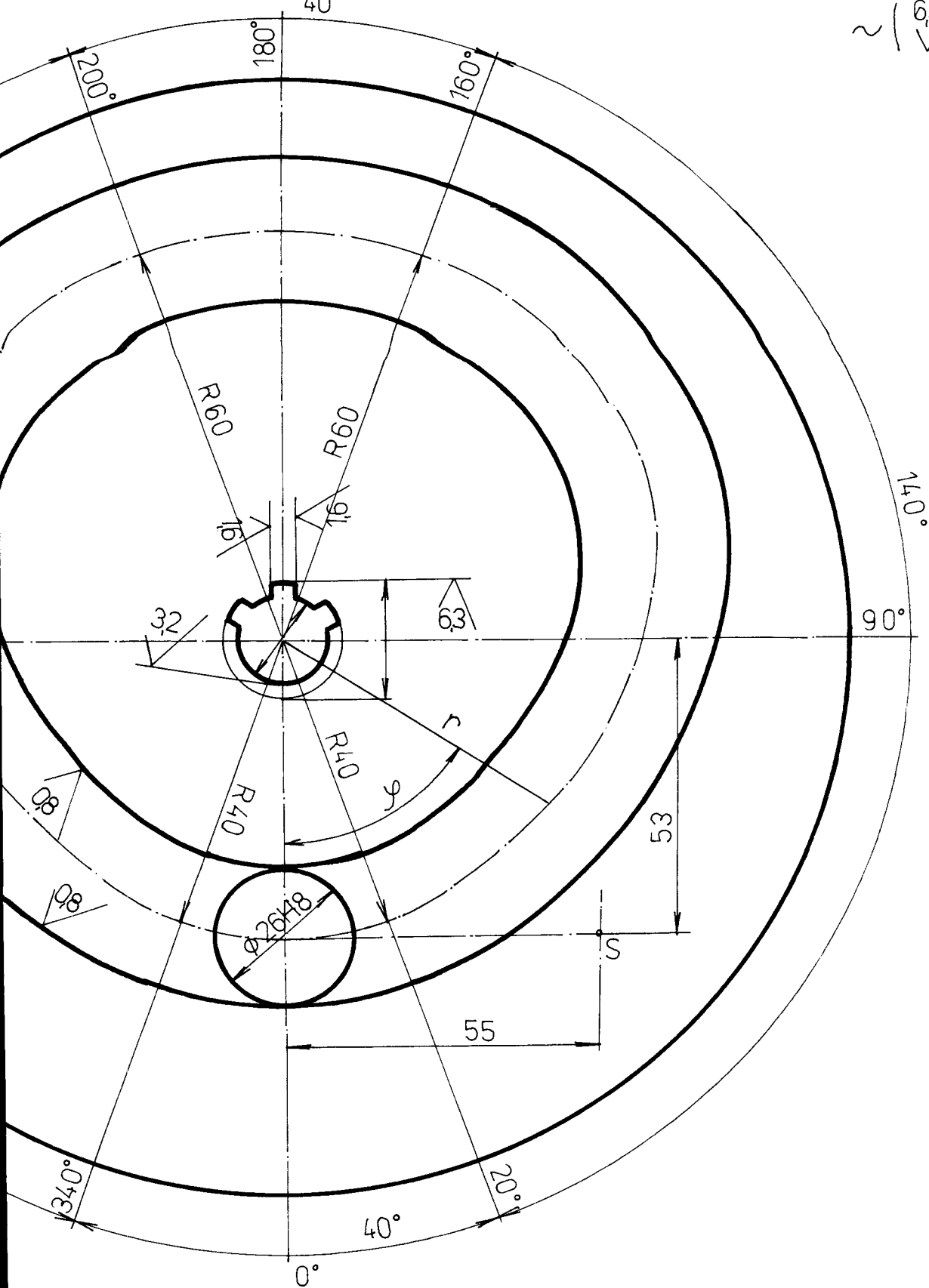
Výsledky výpočtov sily F_2 :

uhol pootočenia	sil a F_2
10	158,7557 / N /
20	232,1353 / N /
30	366,3289 / N /
40	394,0613 / N /
50	347,0931 / N /
60	237,8585 / N /
70	93,5372 / N /
80	-50,6427 / N /
90	-159,8436 / N /
100	-206,5393 / N /
110	-178,6937 / N /
120	-85,8545 / N /
130	32,7500 / N /



140°
270°

$\sim (63, 32, 16, 08)$

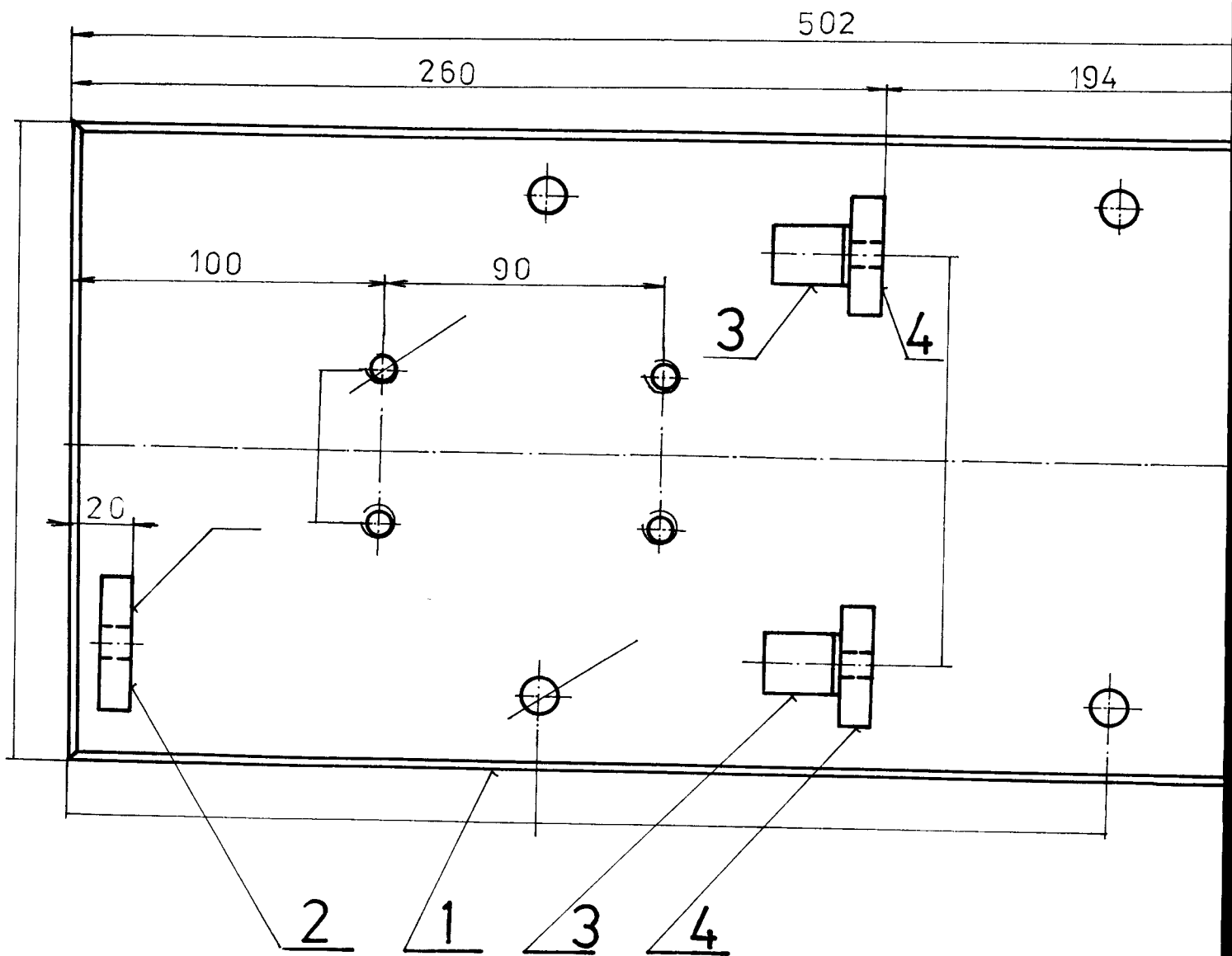
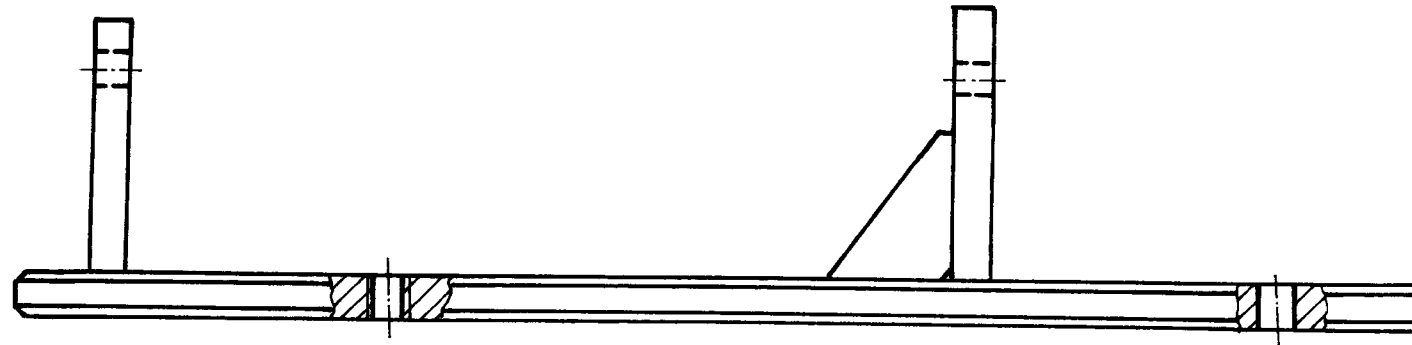


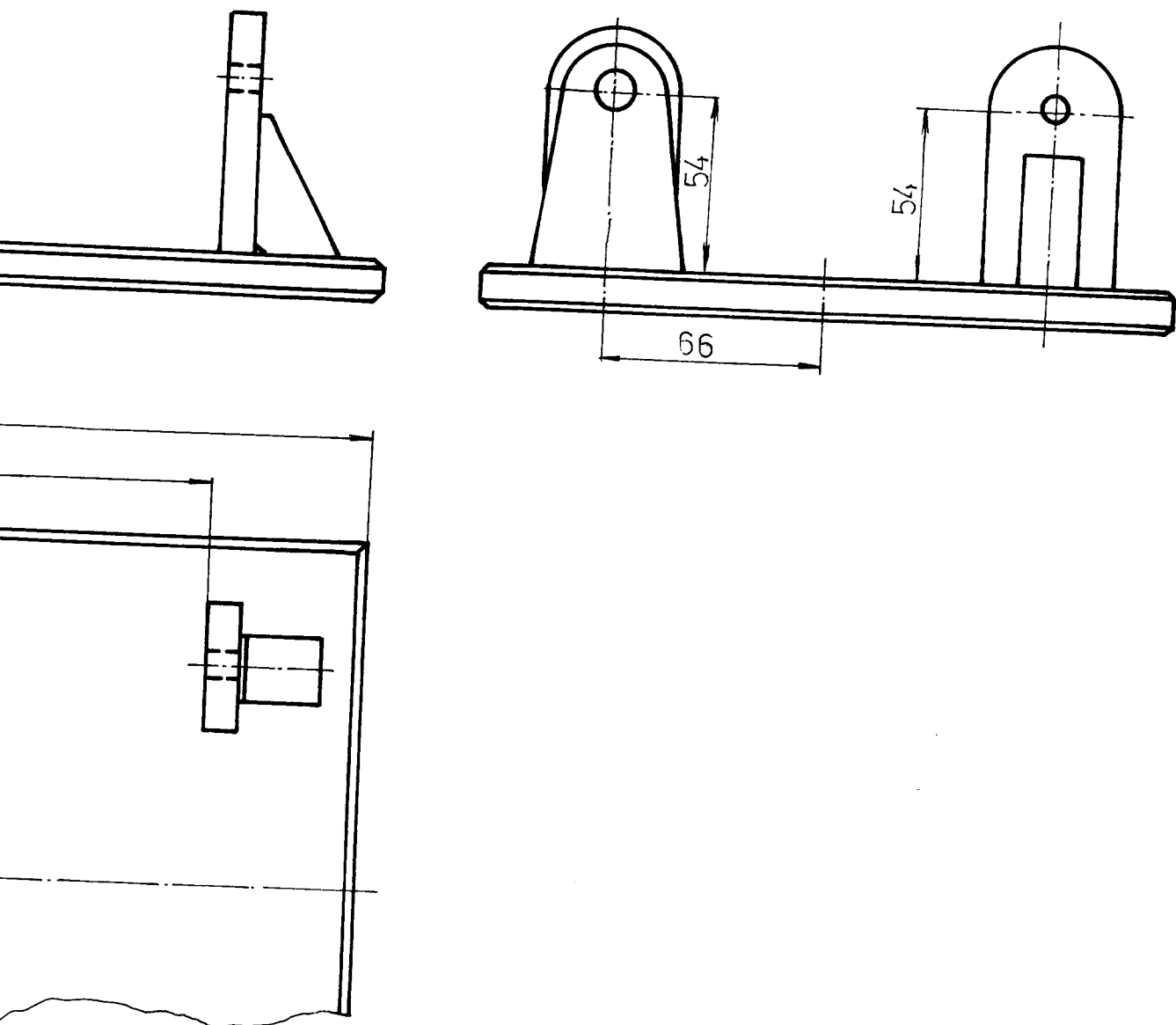
mbis

1:1

VÁČKA

01-TS-09-04





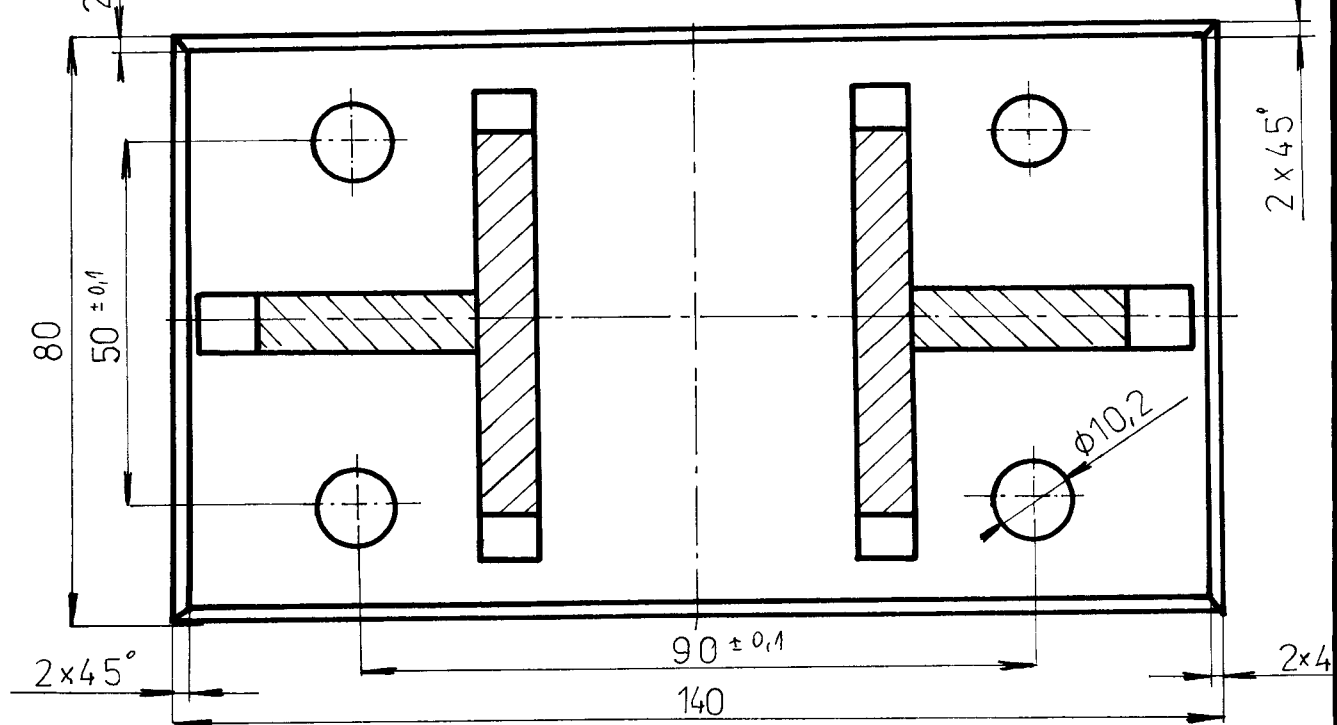
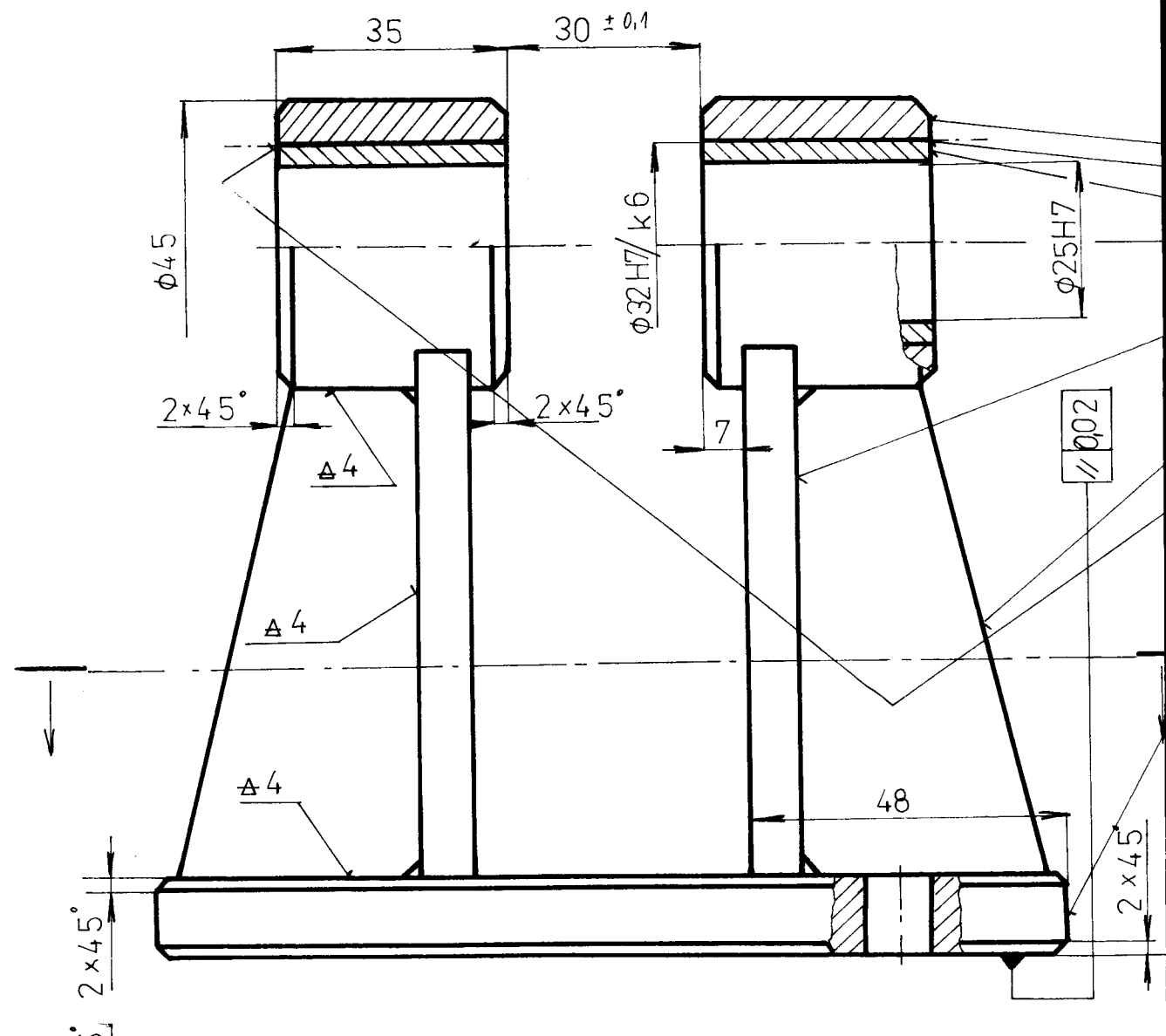
4	STOJAN	ZVARENEC						4
4	REBRO	ZVAR						3
1	STOJAN	ZVAR						2
1	PODSTAVEC	ZVAR						1

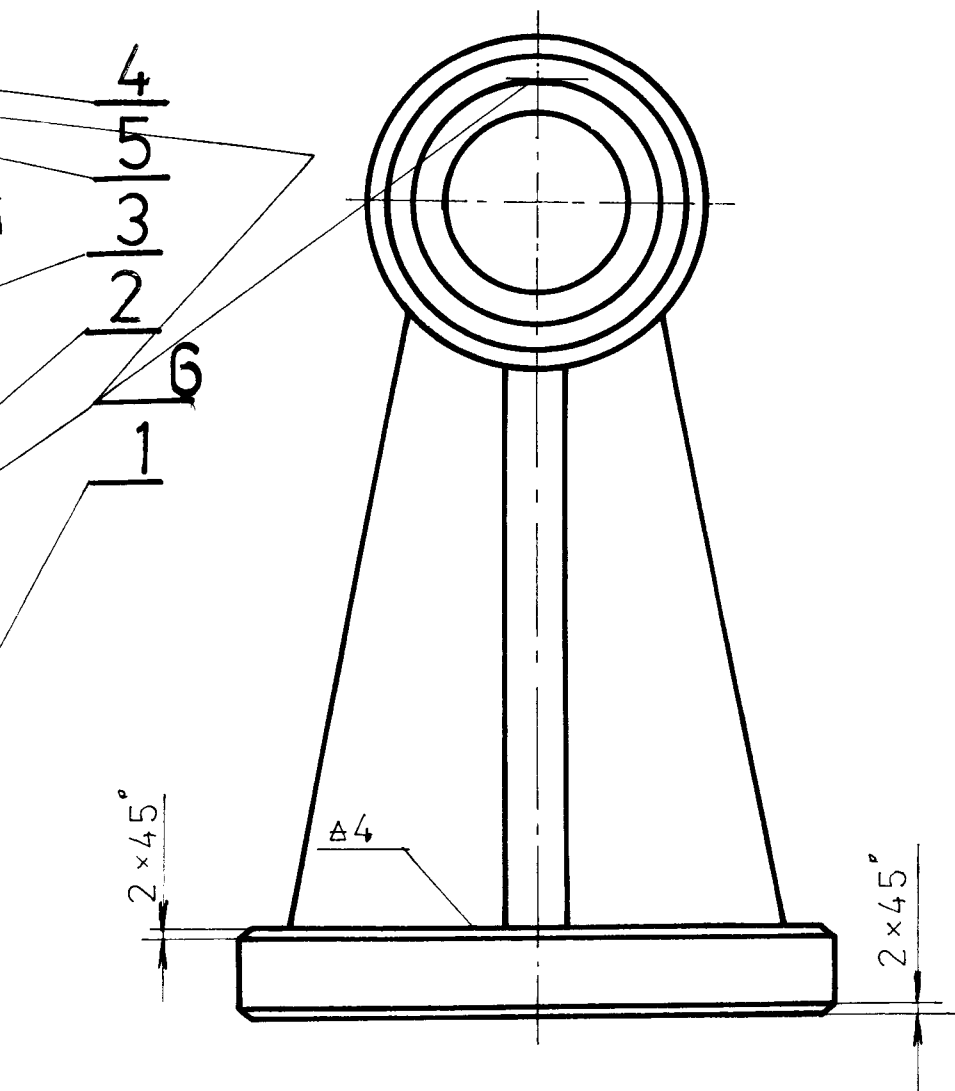
Kubek

1:2

PODSTAVEC

01-TS-09-03





2	ŠROUB	ČSN 021185					6
2	PUZDRO	ČSN 023799					5
2	TRUBKA						4
2	STOJAN	ZVARENEC					3
2	REBRO	ZVARENEC					2
1	PODSTAVEC						1

skica

1:1

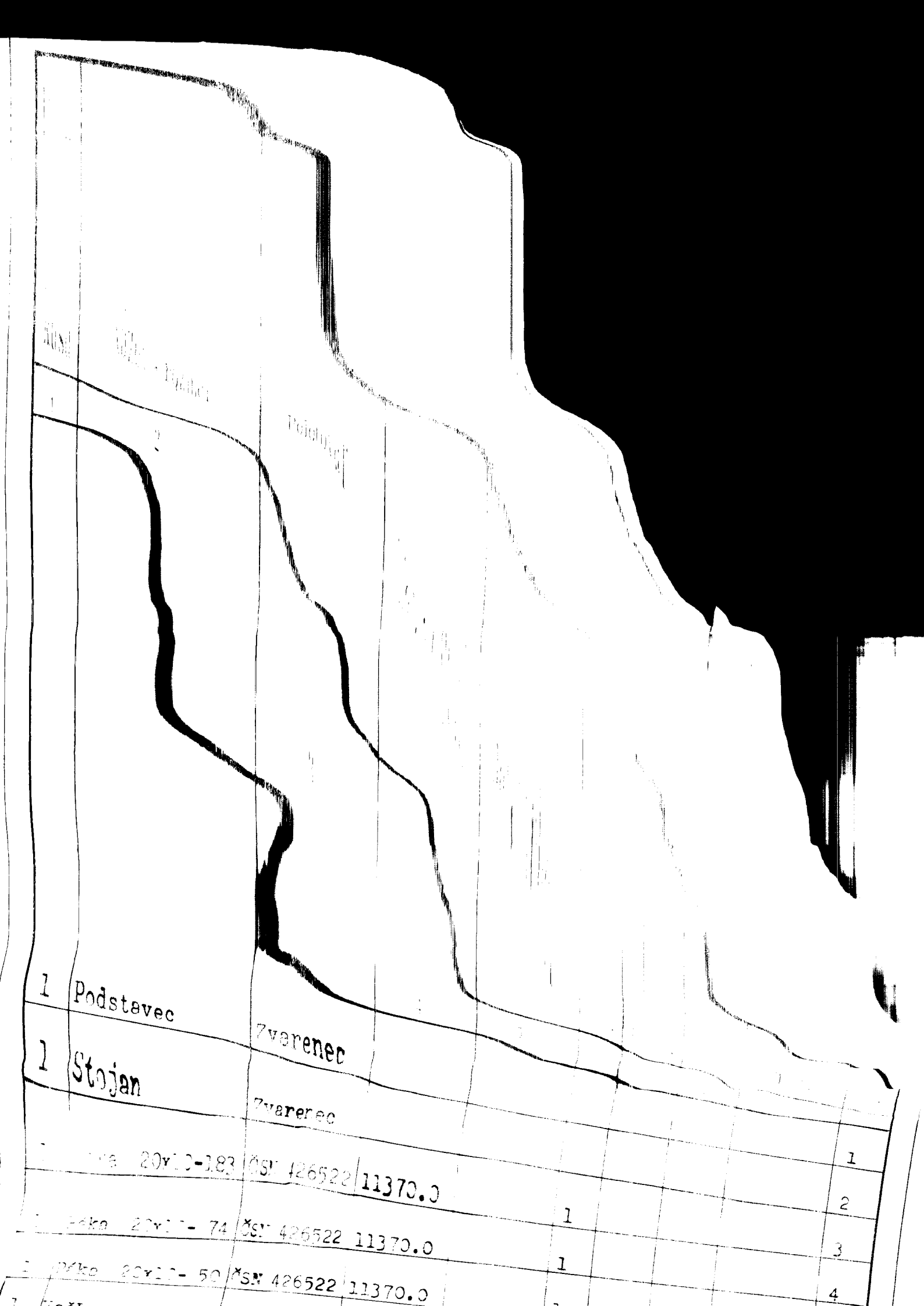
STOJAN

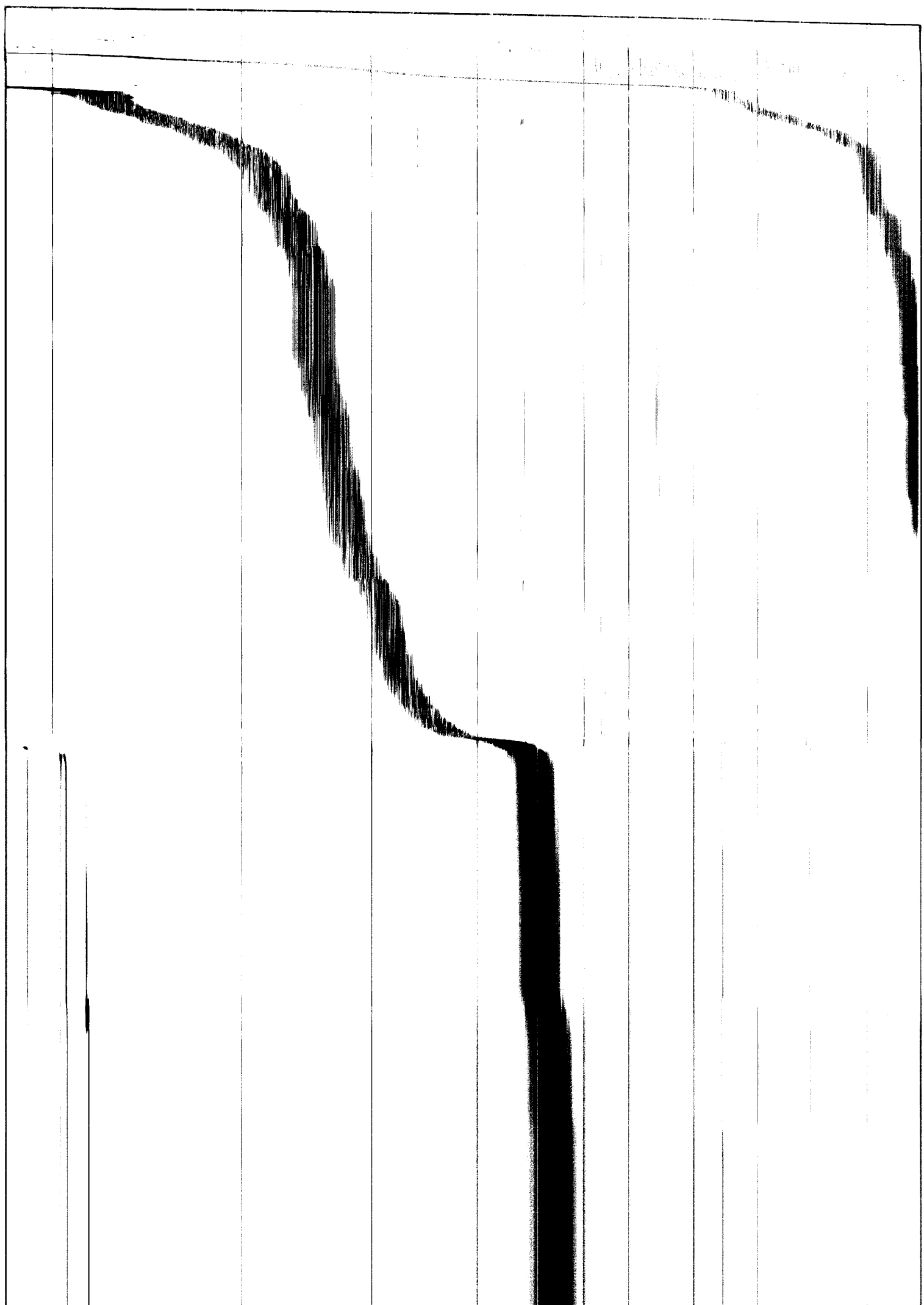
01-TS-09-03

řád. čís.	Název - Použití	Příslušenství	Un. kód	Mat. výrobce	Přísluš. čís. dle normy	Cíl	Obor	Cílový okres	Poz.
1	2	3	4	5	6	7	8	9	10
1	Podstavec	Zverenec							1
1	Stojan	Odliatok							2
1	Veko		11500.0	11500	001	1,1	1,5		3
1	Veko		11500.0	11500	001	1,1	1,5		4
1	Páka 20x10-183	ČSN 426522	11370.0		1				5
1	Páka 20x10-74	ČSN 426522	11370.0		1				6
1	Páka 20x10-50	ČSN 426522	11370.0		1				7
1	Vačka	ČSN 425510	11500.1		1				8
2	Spojka 40x25	ČSN 425510	11523.1		1				9
1	Kotúč 40x14	ČSN 425510	11523.1		1				10
1	Hriadeľ	ČSN 425510	11600.1		1				11
1	Čap 14x35	ČSN 425510	10370.1		1				12
1	Čap 20x35	ČSN 425510	10370.1		1				13
2	Čap 10x30	ČSN 425510	10370.1		1				14
1	Rozpora 22x35	ČSN 425510	11353.1		1				15
1	Rozpora 14x2-11	ČSN 425715	11353.1		1				16
2	Rozpora 14x2-1,5	ČSN 425715	11353.1		1				17
1	Matka KM 2	ČSN 023630							18
4	Skrutka M 8x20	ČSN 021101							19
1	Podložka MB 2	ČSN 023640							20

Měřítka	Kreslil <i>Nejedlo</i>		Čís. sním.	Změna	Dokument	Podpis	Index zmeny	x
Přezkoušel								
Norm. ref.			Č. transp.	Dne	Dokument	Podpis	Index zmeny	x
Výr. projednal	Schválil							

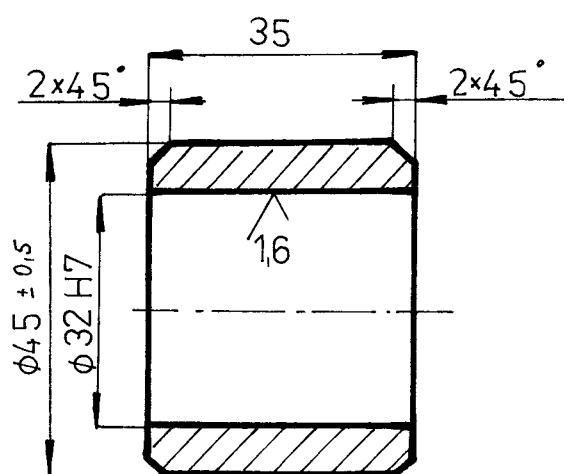
VŠST	Typ	Skupina	Starý výkres	No. s výkres
	Název	PREVODNÍK	01-TS-09-04	
		Počet listů	List	





Měřítko	Kreslil <u>Kukla</u>	Čís. sním.				
1:1	Přezkoušel	Č. transp.	Změna	Datum	Počet k.	Ideov. záměny
	Norm. ref.					x
	Výr. projednal		Schválil			x
			Dne			x
		Typ	Skupina	Starý výkres	No. nový výkres	
VŠST		Název	PREVODNÍK		01-TS-09-04	
					Počet listů	List

$\sim / \begin{smallmatrix} 16 \\ \vee \end{smallmatrix} /$



2 TRUBKA

4

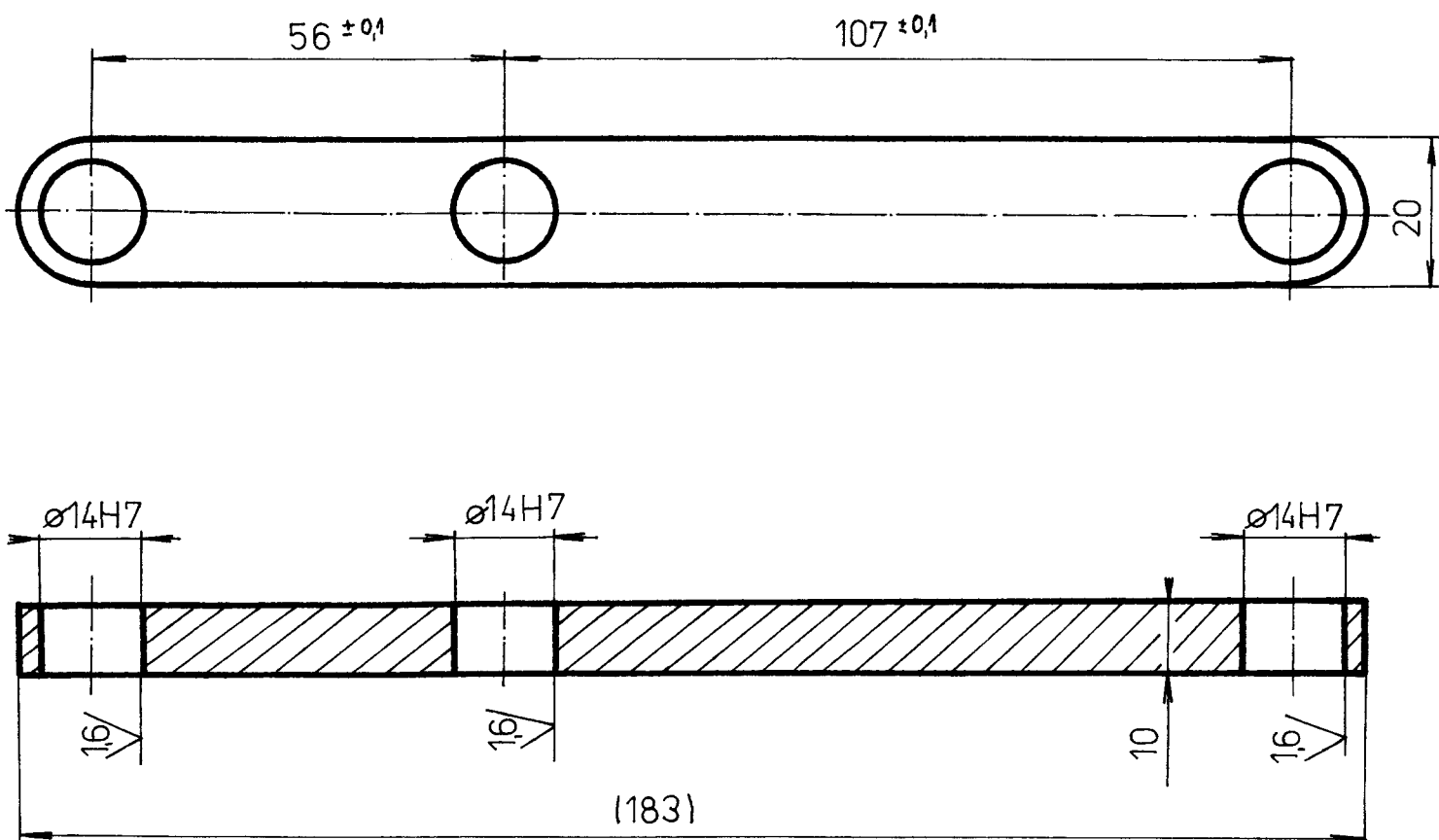
1:1

Zábles

TRUBKA

01-TS-09-04-03

$\sim (\checkmark)$



1 PÁKA

ČSN 426522

11370.1

1

3

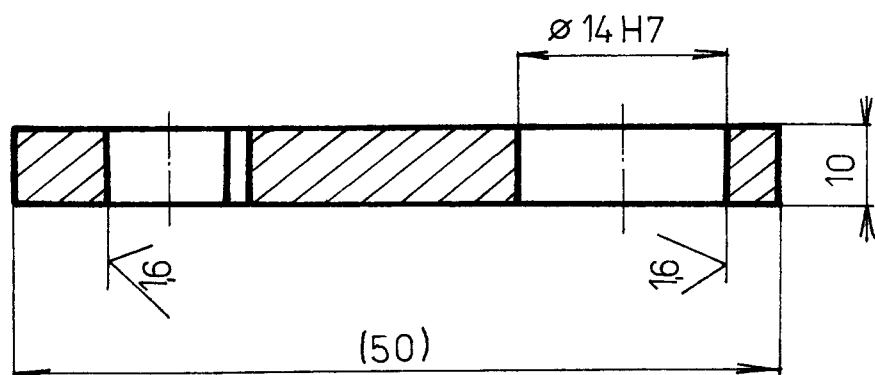
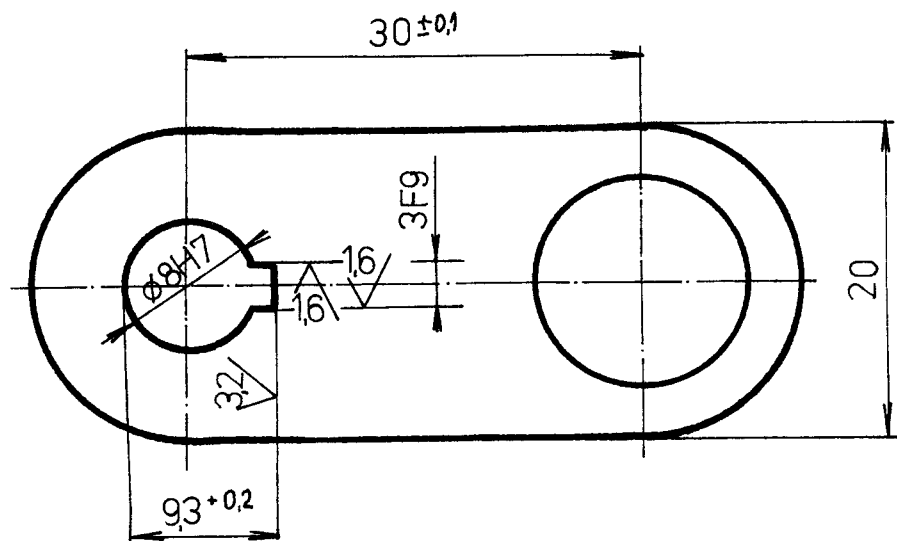
úhrada

1:1

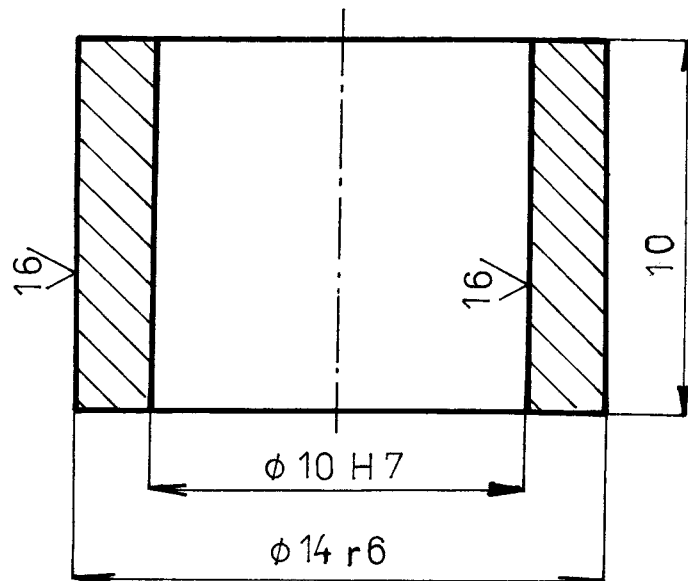
PÁKA

01-TS-09-04

$\sim (\checkmark \quad \checkmark)$



16/
V



1 ROZPORA

ČSN 425715

11353.1

14

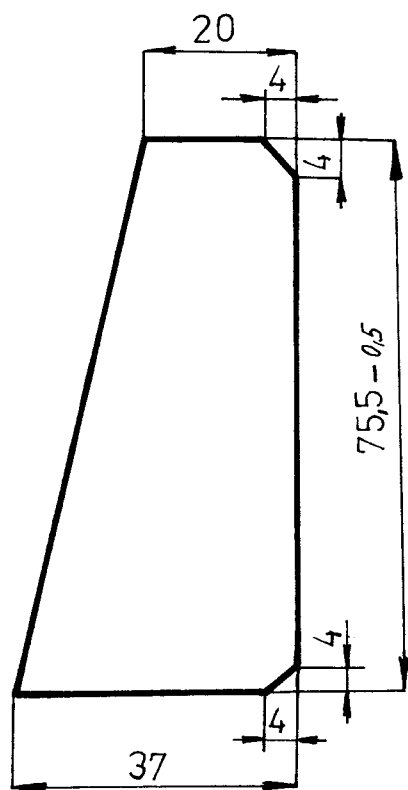
5:1

Autodesk

ROZPORA

01-TS-09-04

~



4 REBRO

ZVARENEC

3

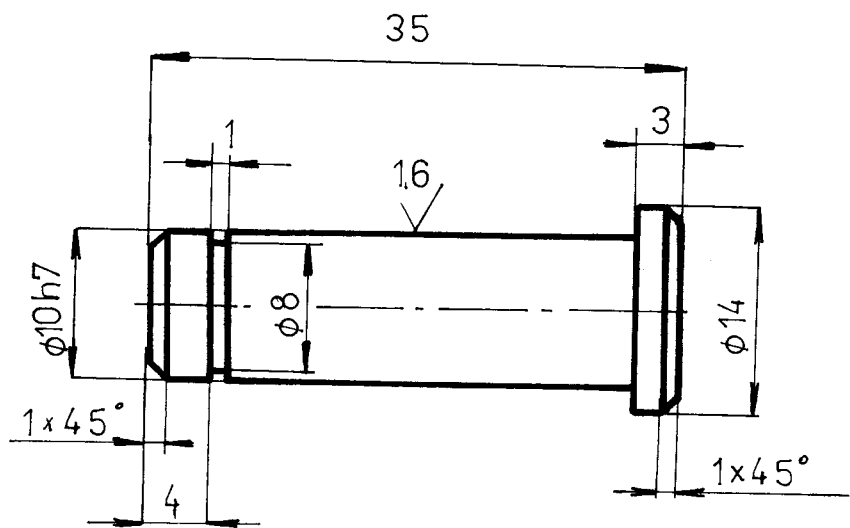
Náhrada

1:1

REBRO

01-TS-09-04-03

32 / 16 /



1 ČAP

ČSN 425510

10370.1

1

10

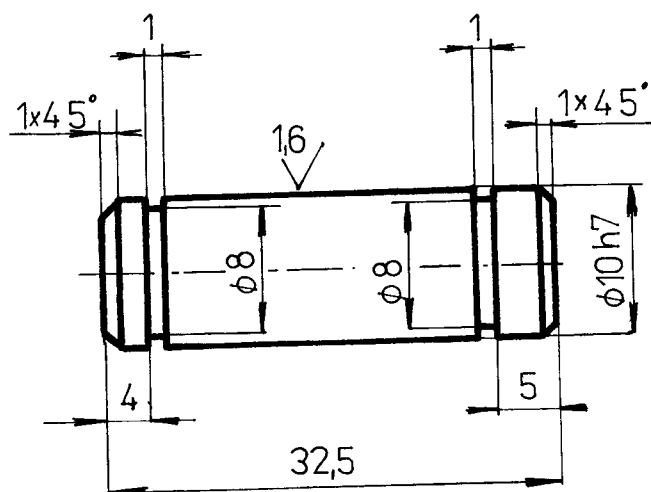
Zubeho

2:1

ČAP

01-TS-09-04

32 / 16 /



2 ČAP

ČSN 425510

10370.1

1

12

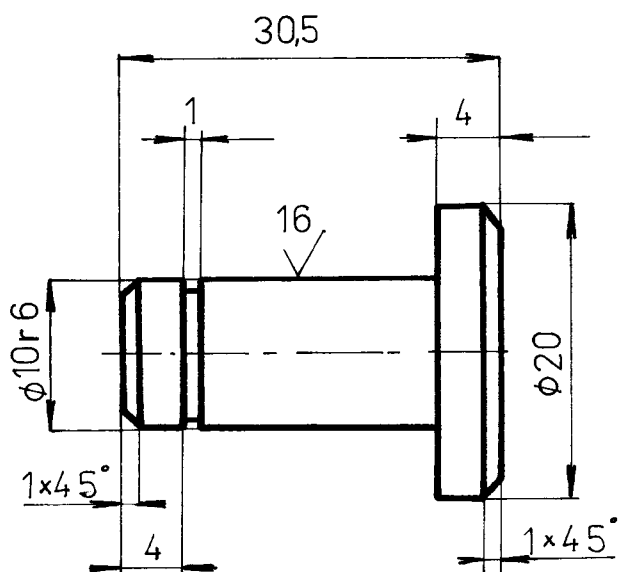
zimba

2:1

ČAP

01-TS-09-04

3,2 / 1,6 /



1 ČAP

ČSN 425510

10370.1

1

11

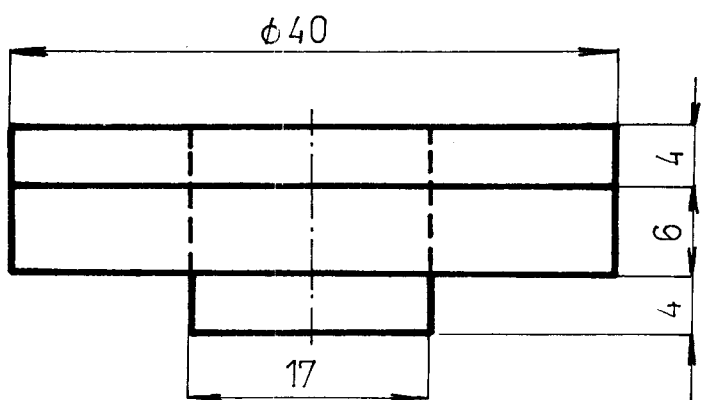
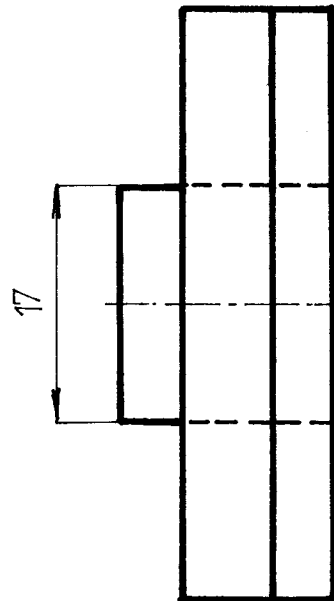
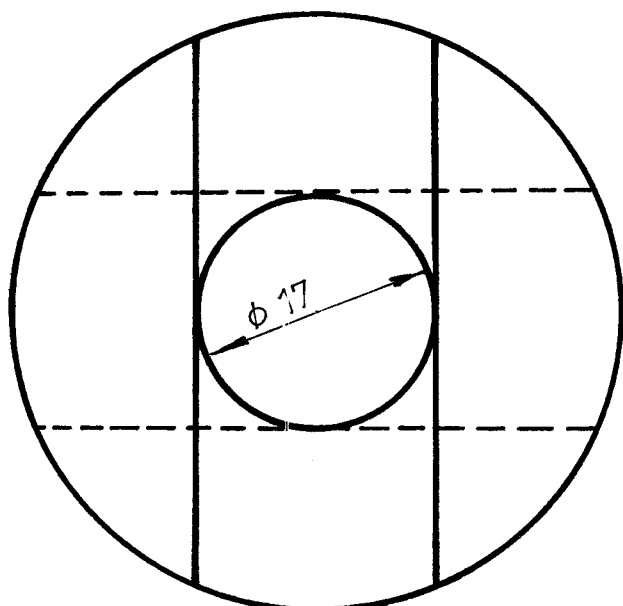
Kudla

2:1

ČAP

01-TS-09-04

32 ✓



1 KOTÚČ

ČSN 425510

11523.1

1

8

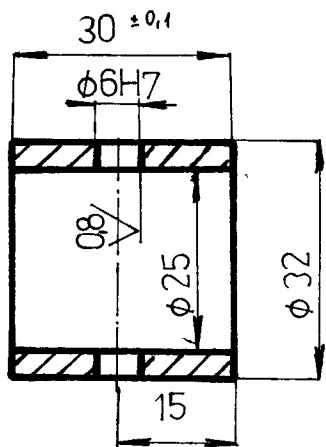
Kotúč

2:1

KOTÚČ

01-TS-09-04

$\sim | 0,8 |$



1 ROZPORA

ČSN 425715

11353.1

13

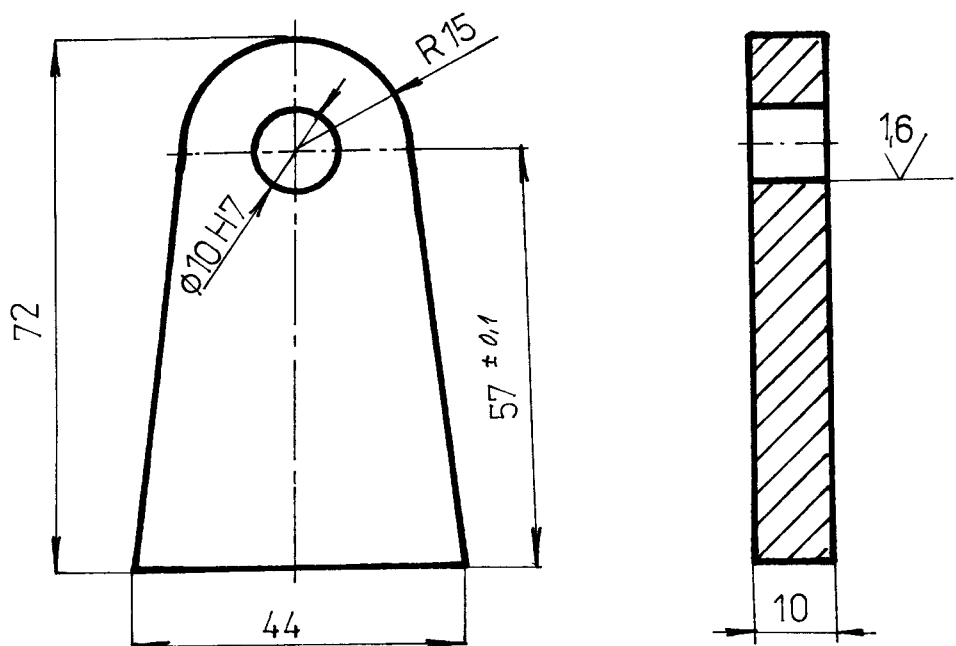
Změna

1:1

ROZPORA

01-TS-09-04

$\sim / \begin{smallmatrix} 16 \\ \vee \end{smallmatrix} /$



1 STOJAN

ZVARENEC

2

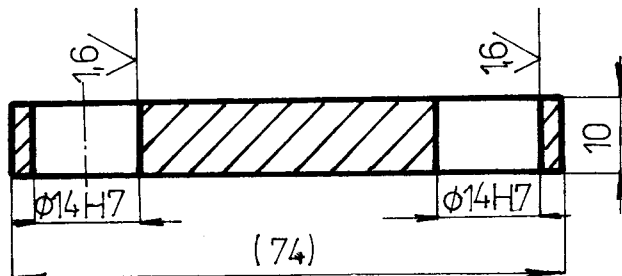
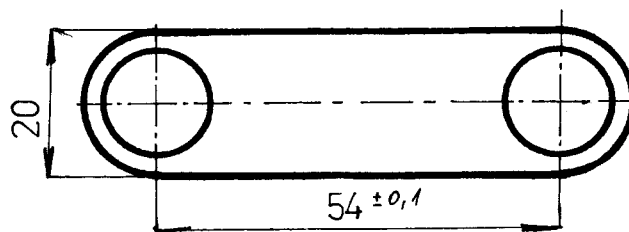
1:1

260

STOJAN

01-TS-09-04-03

~ / 16 /



1 PÁKA

ČSN 426522

11 370.1

1

5

1:1

zobec

MS 1000 1000 1000

PÁKA

01-TS-09-04

